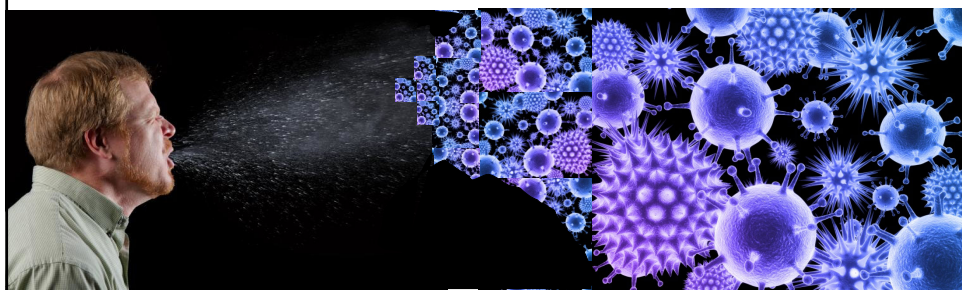


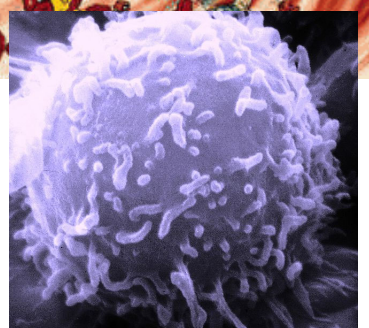
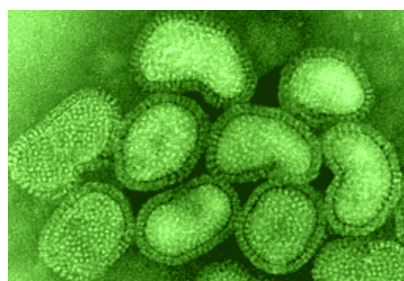
Respirační viry



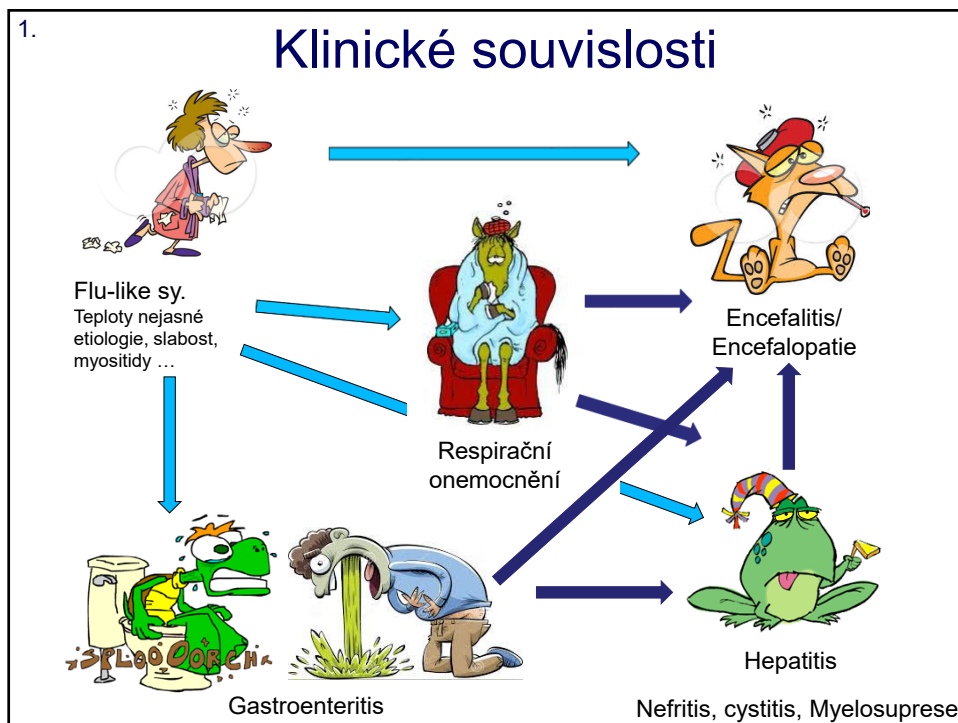
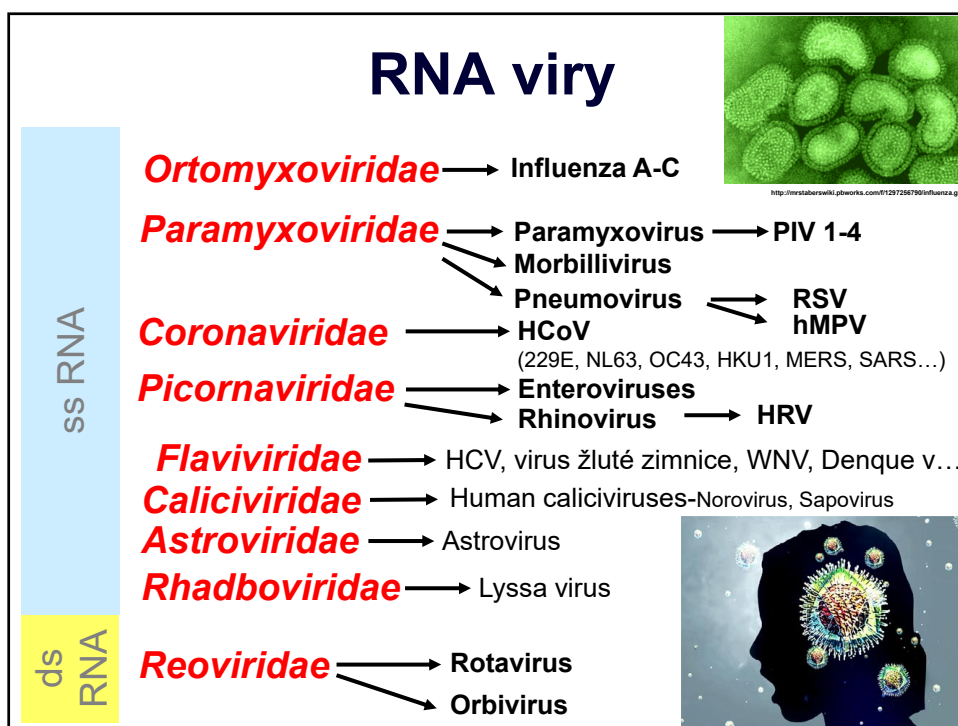
Petr Hubáček



Život je boj



Prasečí chřipka



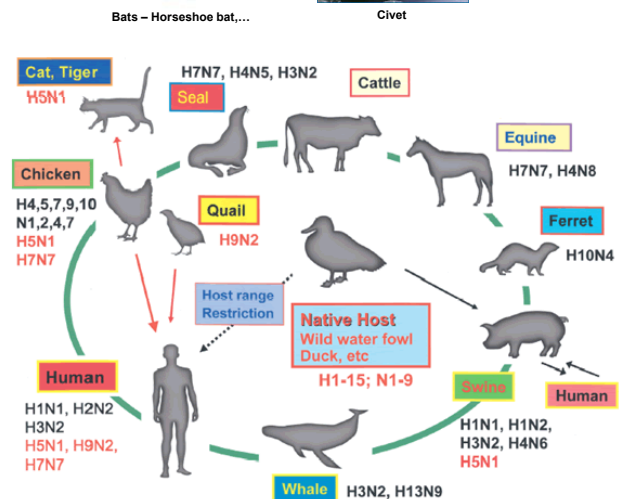
Respirační viry

- Často zoonotické:

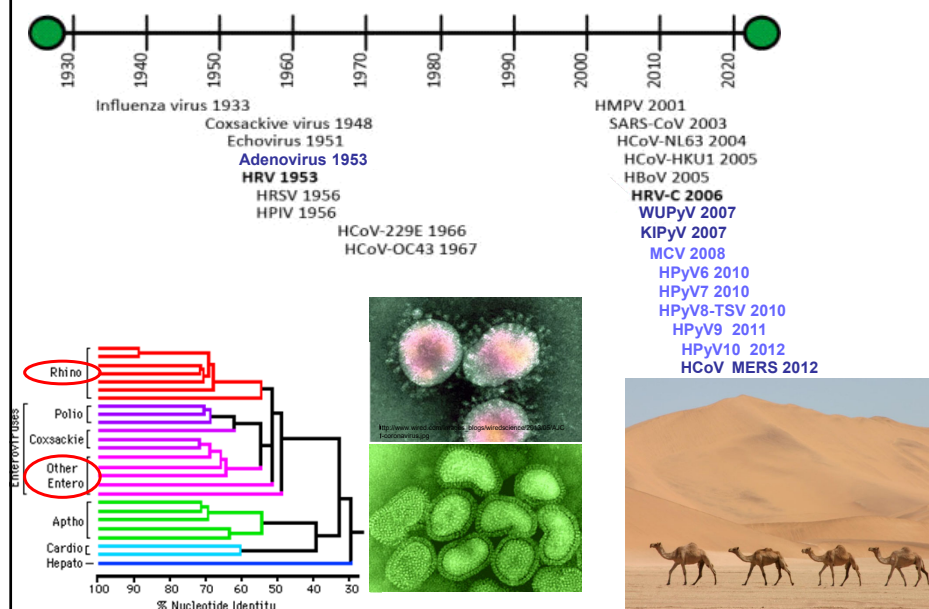
- SARS - CoV
- MERS - CoV
- ...

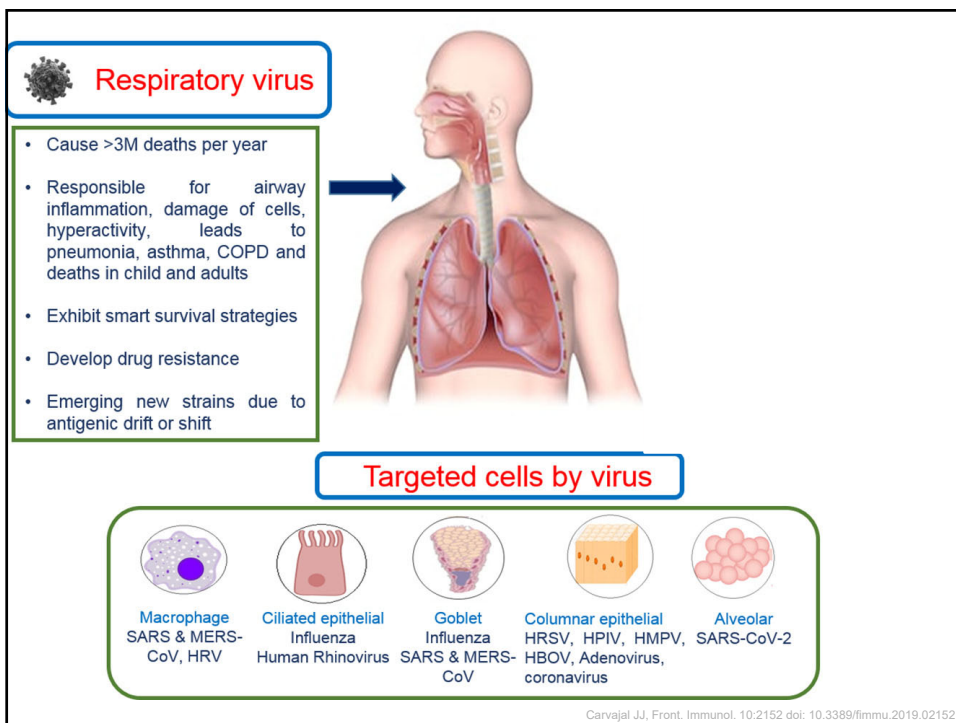
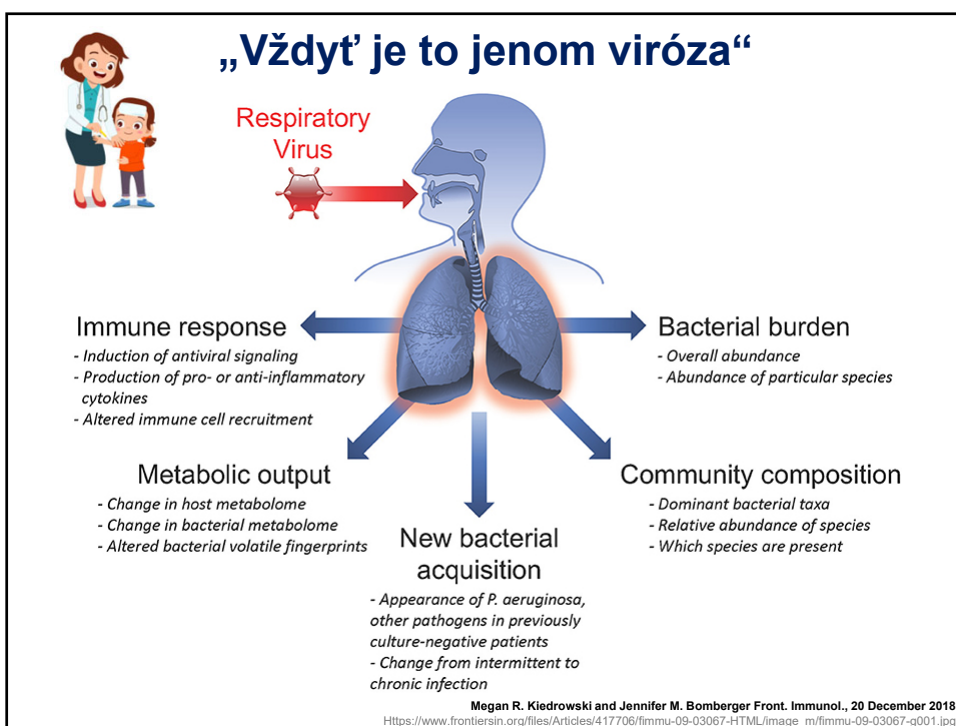


Vede k vysoké frekvenci rekombinanací a nové ohrožující infekce



Historie virových respiračních infekcí





Jak tedy na diagnostiku



Na co se zaměřit při diagnóze? **Klinické symptomy** **Adapted ECDC Definitions** **of Respiratory Tract Infectious Disease (RTID)**

Clinical criteria

- New onset of symptoms
AND
at least one of the following four respiratory symptoms:
 - Cough
 - Sore throat
 - Shortness of breath
 - CoryzaAND
 - A clinician's judgement that the illness is due to an infection

Epidemiological Criteria

- An epidemiological link with human to human transmission

Laboratory Criteria

- Detection of CARV in a clinical specimen by at least *one* of the following:
 - Virus isolation by cell culture (VIC)
 - Direct virus antigen testing (DAT)
 - Nucleic acid amplification testing (NAT)



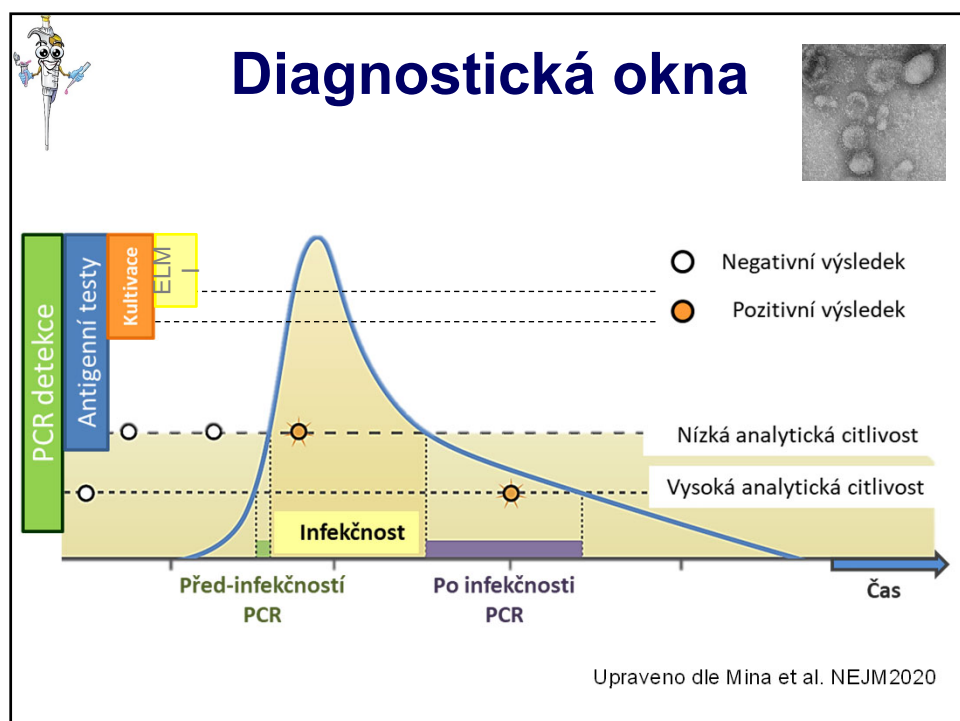
Case Classification

- Possible case
 - Any person meeting the clinical criteria of RTID
- Probable case
 - Any person meeting the clinical criteria of RTID *and* with an epidemiological link
- Confirmed case
 - Any person meeting the clinical of RTID *and* the laboratory criteria

Adapted from ECDC definitions for influenza
http://ecdc.europa.eu/en/activities/surveillance/EISN/surveillance/Pages/influenza_case_definitions.aspx



4th European Conference on Infections in Leukemia

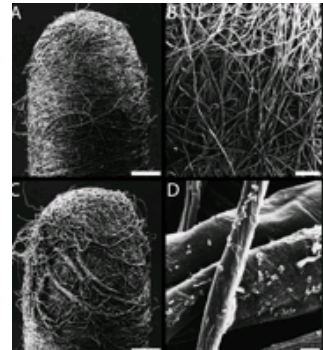


Délka vylučování respiračních virů

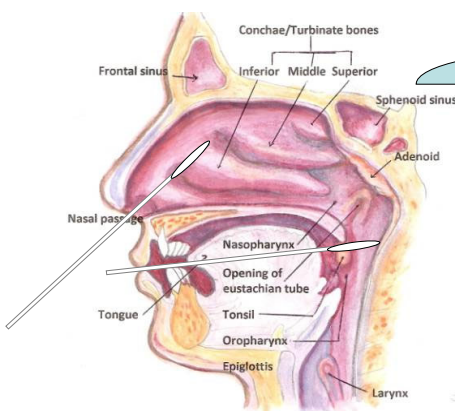
Virus	Délka vylučování v běžné populaci (případně děti/dospělý)	Délka vylučování u imunosuprimovaných pacientů
Influenza virus A	≤14 dní/ ≤5,5 dní	29,5 dne až 5 měsíců (!)
Influenza virus B	6-7 dní	7,5 dne (2,5-80,5)
Parainfluenza virus	PIV-1 a 2: 3-6 dní PIV-3: 8 dní (3-10 dní)	6-42 dní
RSV	± 4 dny (1-12)/	Medián 2-4 týdny 80 dní (35-334 dní)
hMPV	± 5 dní	7-24 dní
HRV/HEV	± 14 dní (HRV-C 7 dní) Dospělý déle než děti	Většina ≤4 týdnů 5 týdnů (1-49 týdnů)
Coronaviry (HKU-1, 229E, OC43, NL63, SARS-CoV-2)	3-18 dní, pár týdnů až 2 měsíce	4 týdny (1-22 týdnů), u SARS-CoV-2 až 3 měsíce

Talaat et al. JID 2013;208-1669-1678; Takeyama et al. Jmed Virol 2016, 88(6):938-946; Milano et al. Blood 2010, 115(10):2088-94; Lehnert et al. PLOS One 2016, Feb. 2016; de Lima et al. Transpl Infect Dis 2014, 16(1):165-9; Goossens et al. JID 2009, 199, 1435-1441; Pinsky et al. Emerging Infect Diseases 2010, 16(7):1165-1167; Chen et al. J Clin Virol 2015, 64:74-82; Dennis et al. CID 2016, 62(4): 431-437; van der Hoek et al. FEMS Microbiol rev 30 (2006):760-773; Tasian et al. Pediatr Blood Cancer 2008, 50(5): 983-987; Choi et al. Blood 2011, 117(19):5050-5056; Fields. Virology 5th ed. 2007

Typ štětiček



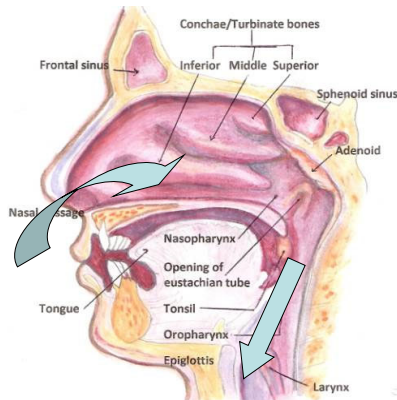
Správný odběr biologického materiálu



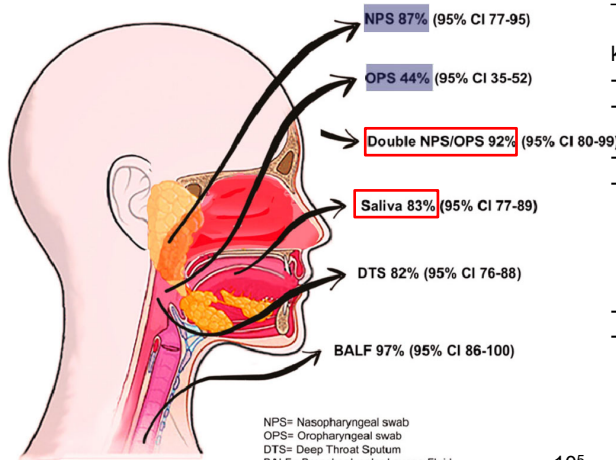
Správný odběr biologického materiálu

První proliferace na sliznici
HDC – v místě první vstupu infekce.

Virus	Přenos z HDC do DDC	Mortalita
RSV	20-68%	17-70%
PIV	13-37%	10-30%
HRhV	<10%	<10%



Jak je to s citlivostí detekce podle materiálu?



- prošly 1598 studií, vybrali 33 (26 kvantitativní)
 - 1. publikované/přijaté
 - 2. pacienti s dg nebo screen pro COVID-19
 - 3. RT-PCR
 - 4. studie zaměřené na použití slin, sputa, orálních tekutin/sekrecí, faryngeálních sekrecí pro srovnání diagnostických metod
 - 5. alespoň 2 vzorky
 - 6. provedené na potvrzených COVID-19 pacientech s párovým **Moč**
- detekce Ag -74% (Diao et al. 2020)
- množství $\pm 10^2$ - 10^5 /ml vs. $\pm 10^{11}$ /ml v NPS (D.L. Jones et al. Scie Total Environment 2020)
- virus je infekční

Khiabani et al. Are saliva and deep throat sputum as reliable as common respiratory specimens for SARS-CoV-2 detection? A systematic review and meta-analysis *American Journal of Infection Control*, DOI: 10.1016/j.ajic.2021.03.008

Diagnóza

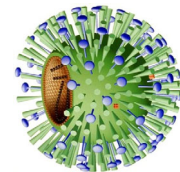
- Izolace viru
 - Pomocí tkáňových kultur, nebo na kuřecích embryích
- Rapid testy (především detekce antigenu)
- **PCR**
- Předběžná dg. - klinický obraz + epidemie
- Sérologická detekce



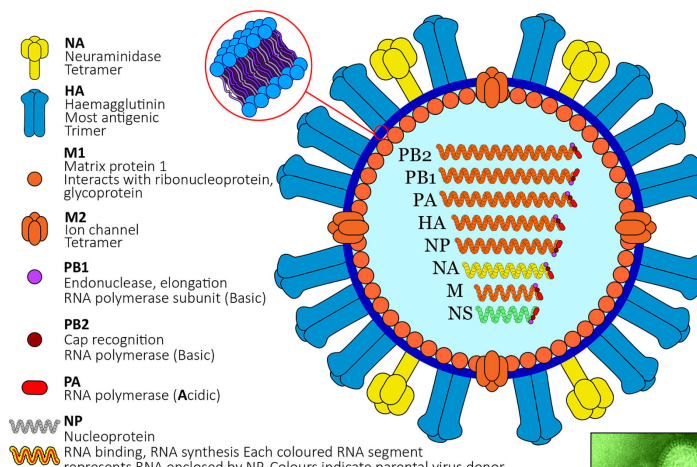
Courtesy of CDC

Co je chřipka?

- Akutní respirační onemocnění způsobené infekcí influenza virem (Orthomyxoviry)
- Vysoko infekční a rychle se šířící virus z osoby na osobu
- Některé kmeny způsobují těžší onemocnění než jiné.
- 412 př. n.l. – první zmiňováno Hippocratem
- 1580 – popsaná první pandemie
- 1580-1900 - 28 pandemií
- Jméno **Influenza** pochází z Italštiny „influentia“ tedy ovlivnění. Tohle jméno Italové používali od 16. století, protože věřili, že je zdraví ovlivněno hvězdami.
- Virus byl prvně izolován v roce 1933.

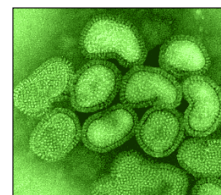


ORTHO MYXOVIRY

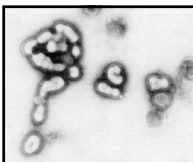


typ A, B, C : NP, M1 protein
sub-typy: HA nebo NA protein

https://figshare.com/articles/Influenza_virus/6817112

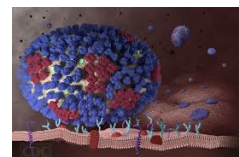


<http://www.uct.ac.za/depts/mmi/stannard/fluavirus.html>



Typy influenza virů

	TYP A	TYP B	TYP C
Závažnost nemoci	++++	++	+
Zvířecí reservoir	ano	ne	ne
Lidské pandemie	ano	ne	ne
Lidské epidemie	ano	ano	ne (sporadické)
Antigenní změny	shift, drift	drift	drift
Segmentovaný genom	ano	ano	ano
Amantadine, rimantidine	citlivý	necitlivý	necitlivý
zanamivir	citlivý	citlivý	citlivý
Povrchové glykoproteiny	2	2	(1)



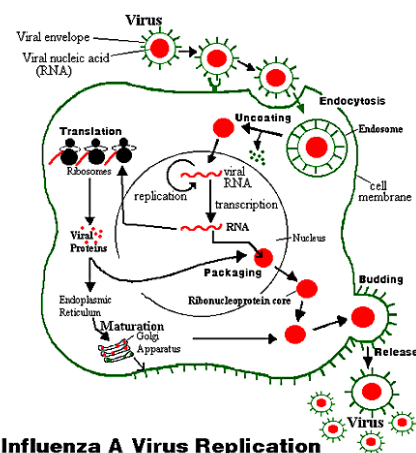
Antigenní změny viru chřipky

- **Antigenní Drift** - sezónní

- Malé změny, stejný subtyp
- Způsobené bodovou mutací v genech
- Mohou způsobit epidemie

Příklad antigenního driftu

- V roce 2003-2004, A/Fujian/411/2002-like (H3N2) virus by dominantní
- A/California/7/2004 (H3N2) začal cirkulovat a stal se dominantním virem roku 2005



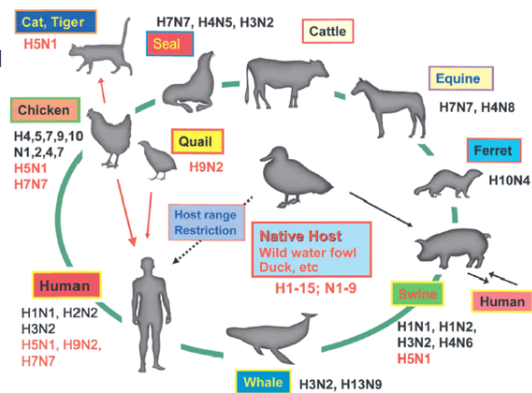
Antigenní změny viru chřipky

- **Antigenní Shift**

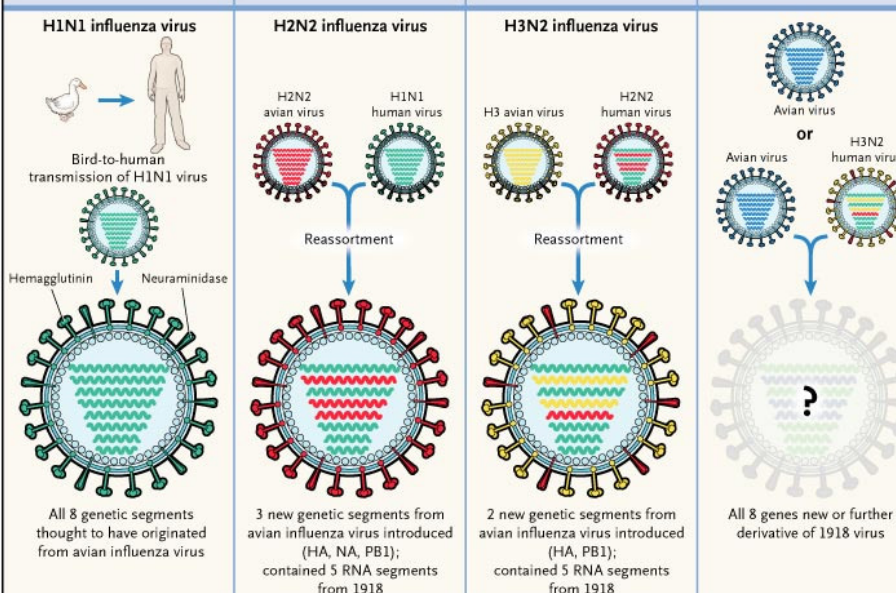
- Velká/Hlavní změna, nový subtyp
- Způsobená výměnou genových segmentů
- Mohou způsobit pandemie

- Příklad antigenního shiftu

- H2N2 virus cirkulovala v letech 1957-1967
- H3N2 virus se objevil v roce 1968 a zcela nahradil virus H2N2



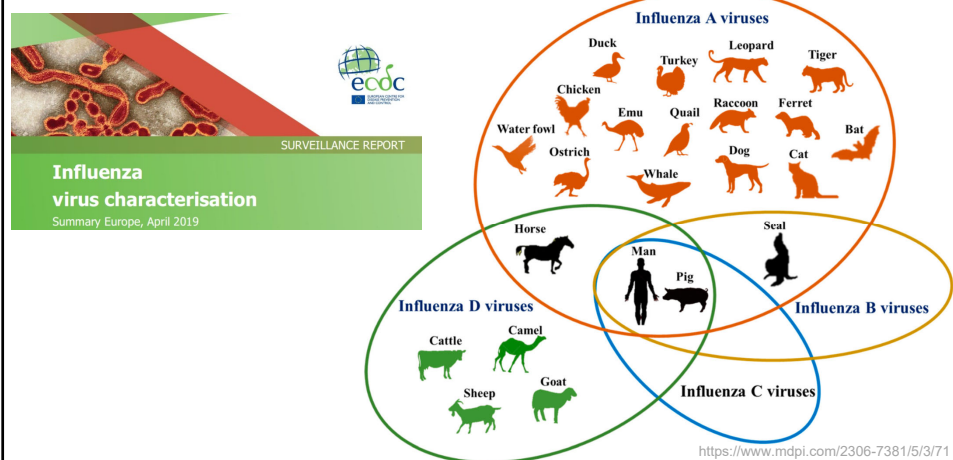
1918 "Spanish influenza" → 1957 "Asian influenza" → 1968 "Hong Kong influenza" → Next pandemic influenza



<https://www.nejm.org/doi/full/10.1056/NEJMmp058281>

Kolik je typů HA a NA?

- 13 typů HA
- 9 typů NA - všechny cirkulují v ptácích
- Vepři – mohou být infikováni jak lidskými, tak ptačími typy



Nálož chřipky a její dopad

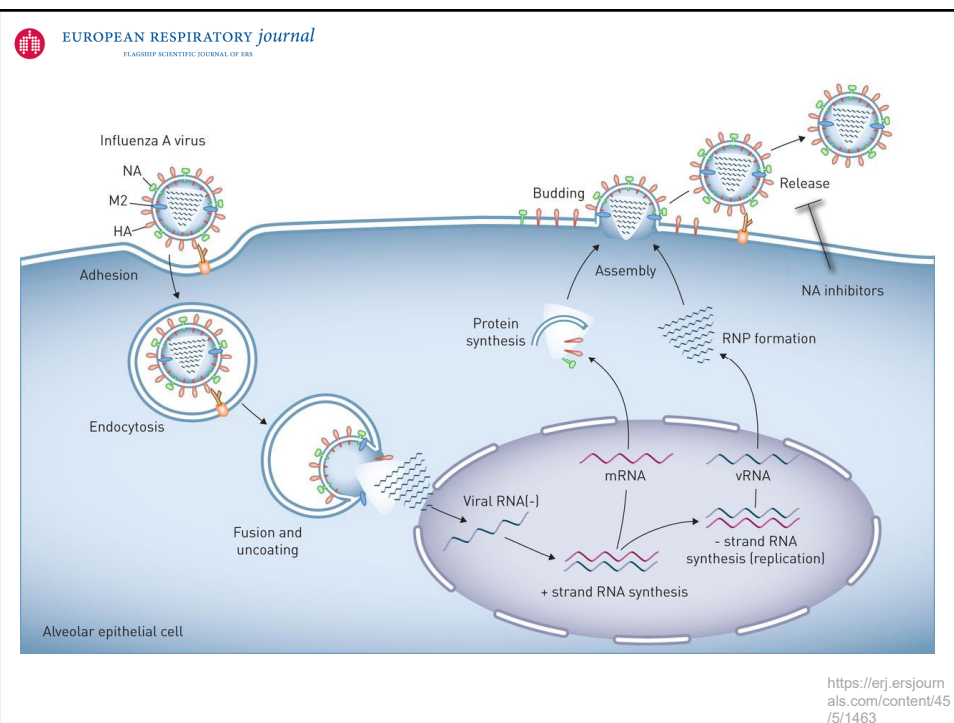
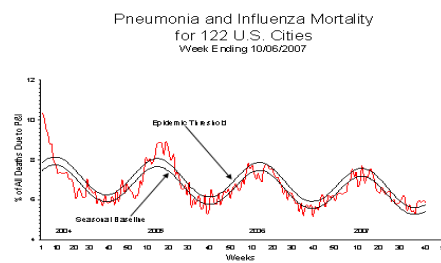
- 10% až 20% populace je infikováno chřipkovým virem každý rok
- Průměrně vede chřipka k více jak 200000 hospitalizacím každý rok
 - Osoby starší 65 let a mladší 2 let jsou ve nejvyšším riziku
- Průměrně 36000 umrtí každý rok
 - Osoby starší 65 let a mladší 2 let jsou ve nejvyšším riziku

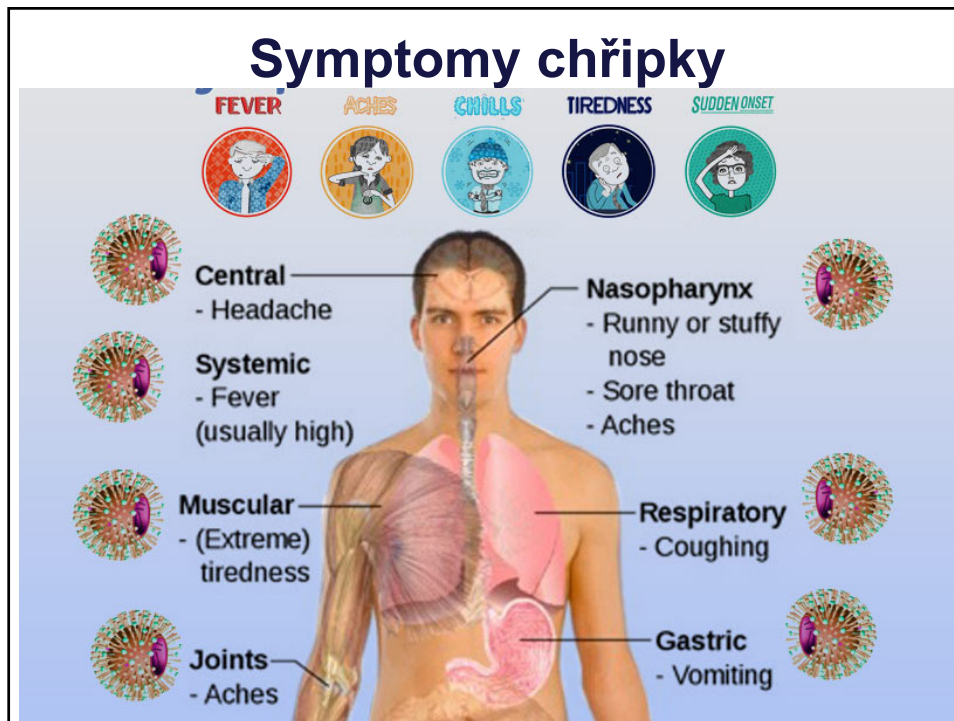
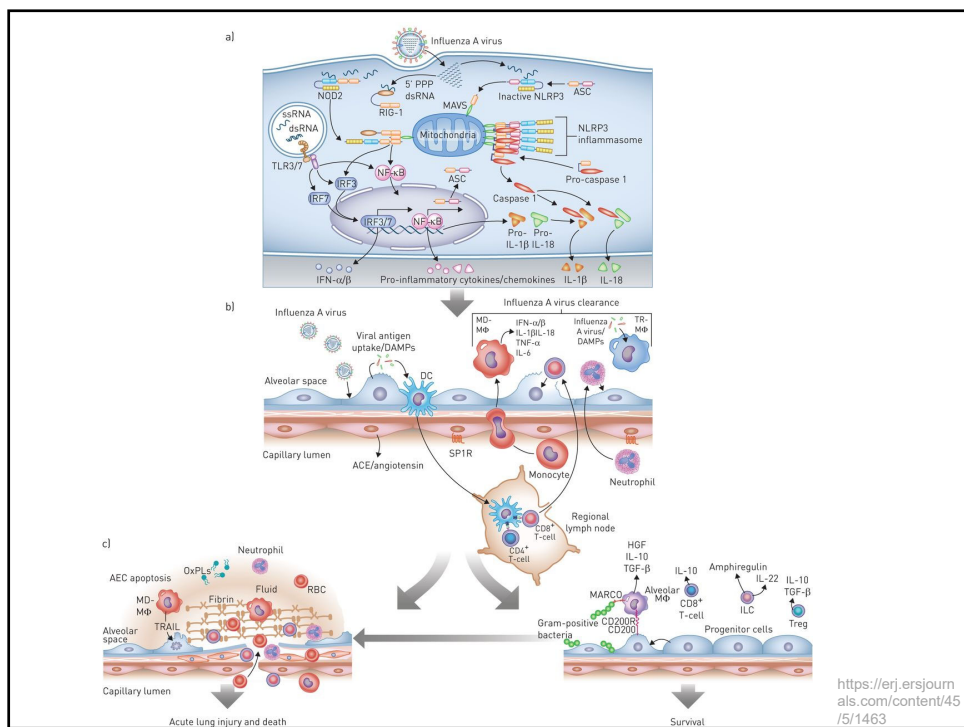
Úmrtí způsobené Influenza virem asociované s plicním a oběhovým selháním, 1998 (USA)

Age Group (yrs)	Rate (per 100,000)
0 – 49	0.4 – 0.6
50 – 64	7.5
≥ 65	98.3 ($>90\%$ mortalita)

Epidemiologie influenza viru

- Reservoir: Lidé, zvířata (pouze u typu A)
- Přenos: - inhalace aerosolů z dýchacích cest obsahujících virus, od infikované osoby, která mluví, kaše, nebo kýchá
100 000 – 1 000 000 virionů/kapičku
 - » Dotek infikované osoby nebo předmětu kontaminovaného virem a následně doteck očí, nosu, nebo úst
- Inkubace: 18-72 hodin
- Přenos: Maximum 1-2 dny před a 4-5 dní po počátku příznaků





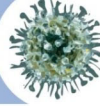
COVID - 19

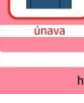
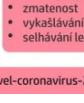
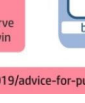
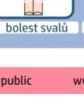
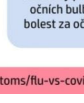
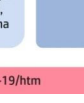
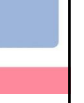
- nakažlivé onemocnění způsobené novým koronavirem
- inkubační doba je 2 - 14 dnů, nejčastěji 5 - 6 dnů
- vyvolává především onemocnění dýchacího a trávicího ústrojí



CHŘIPKA

- nakažlivé onemocnění způsobené virem chřipky
- inkubační doba je 1 - 3 dny
- začíná náhlé z plného zdraví horeckou, zimnicí, bolestí svalů a kloubů, později přistupuje suchý dráždivý kašel.

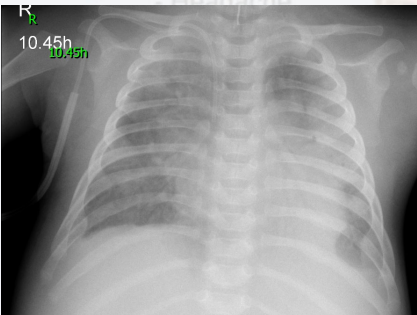


Nejčastější příznaky	Časté příznaky	Méně časté příznaky	Nejčastější příznaky	Časté příznaky	Méně časté příznaky
 zvýšená teplota	 obtížné dýchaní  bolest hlavy	 průjem  závratě  rýma	 horečka  zimnice	 bolest v krku  rýma	 závažné příznaky
 horečka	 bolest svalů  bolest kloubů	 zánět spojivek  rýma	 únavu  suchý kašel	 bolest hlavy  schvácenost	 závažné příznaky
 suchý kašel	 ztráta chuti  svědivá vyrážka	 ztráta čichu  covidové prsty	 bolest svalů  bolest kloubů	 bolest v krku  závratě  zvracení	 nechutenství  bolestivý pohyb očních bulbů, bolest za očima
únavu					 závažné příznaky

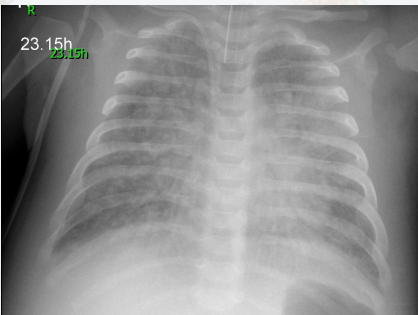
<https://www.who.int/emergencies/diseases/novel-coronavirus-2019/advice-for-public> www.cdc.gov/flu/symptoms/flu-vs-covid-19.htm

Symptomy chřipky

- Závažnost**
 - Velmi mladí (novorozenci) nebo starší pacienti
 - Imunokompromitovaný pacient
 - Komplikace v srdci, nebo plicích

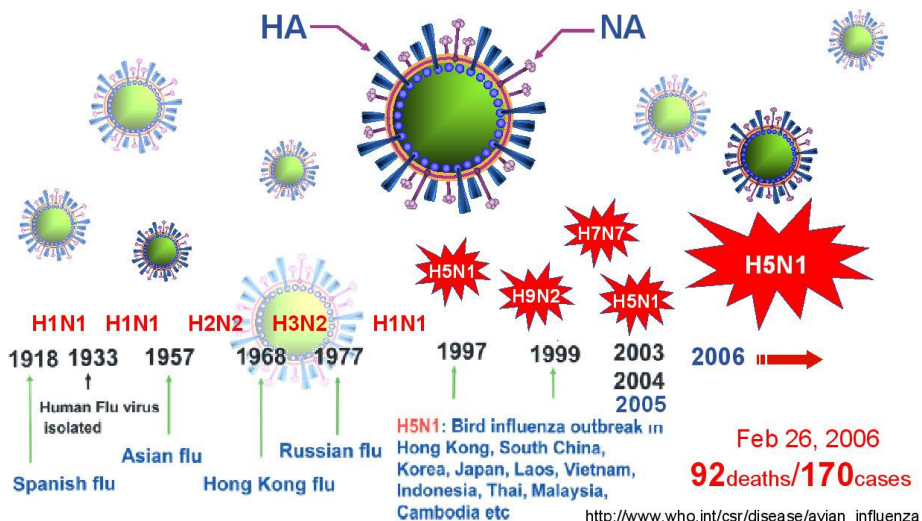


R
10.45h



23.15h
23.15h

Influenza A viruses



Pandemie influenze ve 20. století



1918

“Španělská chřipka”



1957

“Asijská chřipka”



1968

“Hong Kongská chřipka”

20-40 milionů úmrtí

H1N1

1 milionů úmrtí

H2N2

1 milionů úmrtí

H3N2

1920

1940

1960

1980

2000

Chřipka v číslech

1500 Úmrtí na chřipku: přibližně tolik osob průměrně každý rok zemře v ČR v důsledku onemocnění chřipkou Zdroj: szu.cz

290 000 lidí zemře na celém světě v důsledku onemocnění chřipky Zdroj: WHO
650 000

25,4% Proočkovost v ČR: je proočkovost ve skupině osob nad 65 let Zdroj: oecd.org

6% je celková proočkovost v populaci, v porovnání s ostatními státy patří dlouhodobě mezi nejnižší

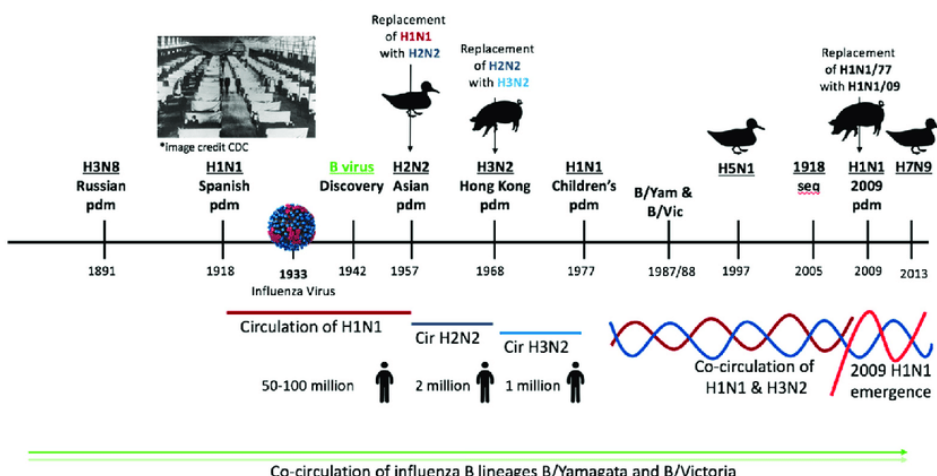
Doporučení Světové zdravotnické organizace:

30% proočkovost v populaci

75% proočkovost v rizikových skupinách (osoby nad 65 let, osoby ohrožené rizikovými faktory)

www.ockovani-chripka.cz/

History of Influenza A and B viruses



Francis, Magen & King, Morgan & Kelvin, Alyson. (2019). Back to the Future for Influenza Preimmunity—Looking Back at Influenza Virus History to Infer the Outcome of Future Infections. *Viruses*. 11. 122. 10.3390/v11020122.



Pacient 1

Influenza A virus

Makroskopický obrázek chřipkové pneumonie.

První oseltamivirová rezistence v České Republice prokázané ve vzorcích.

Resistance se vyvinula po 4 týdnech terapie.

Diagram illustrating the evolution of oseltamivir resistance:

- Host cell
- Sialic acid
- Virion
- Oseltamivir
- Zanamivir
- Viral evolution
- R292K H274Y N294S
- oseltamivir
- Clinical improvement
- *7.1.2013 1 2 3 4 5 +12.6.2013

Komplikace

• Plicní

- KRUP (malé děti)
- Primární virová pneumonie

• SEKUNDÁRNÍ BAKTERIÁLNÍ INFEKCE

- *Streptococcus pneumoniae*
- *Staphylococcus aureus*
- *Hemophilus influenzae*

• Jiné než plicní komplikace

- myositida (vzácná, > u dětí, > u typu B)
- kardiální komplikace
- Současné studie udávají encefalopatii
 - Studie u pacientů <21 let v Michiganu - 8 případů v poslední sezóně
- játra a CNS
 - Reye syndrome
- periferní nervový systém
 - Guillain-Barré syndrom

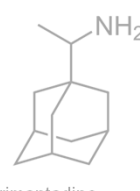
39

Léčba (prevence) - léky

Všechna virostatika musí být podána časně

• rimantadine (M2)

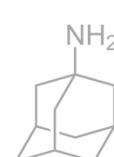
• Působí jen na typ A



rimantadine

• amantadine (M2)

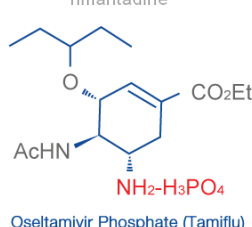
• Působí jen na typ A



amantadine

• oseltamivir (NA)

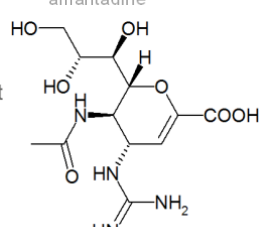
• Působí na typy A a B



Oseltamivir Phosphate (Tamiflu)

• zanamivir (NA)

• Působí na typy A a B

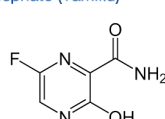


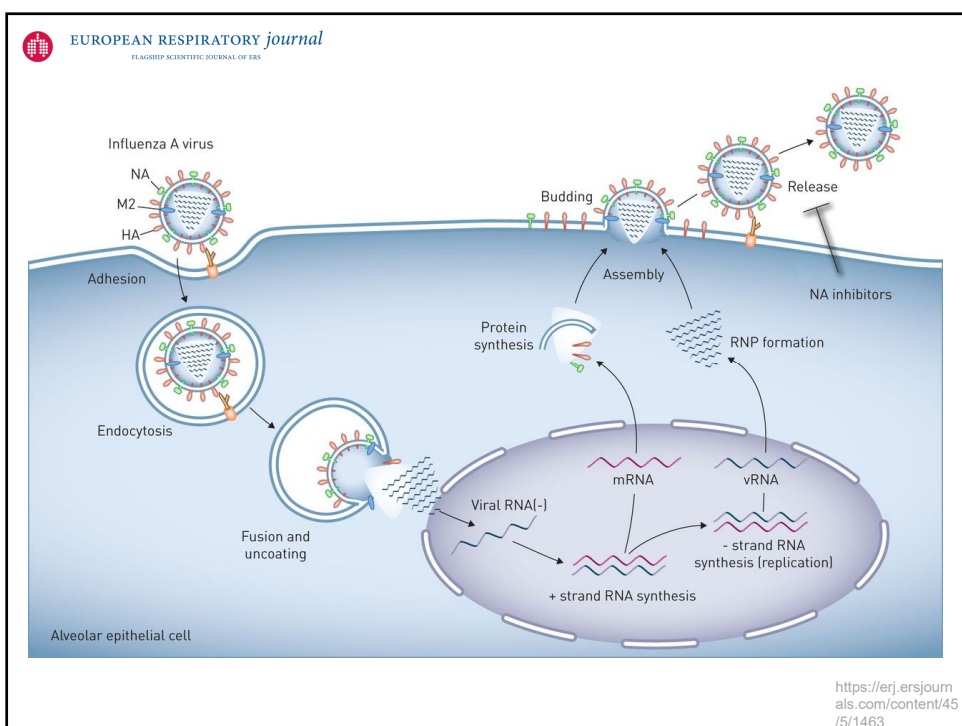
zanamivir

• peramivir (NA)

• Působí na typy A a B

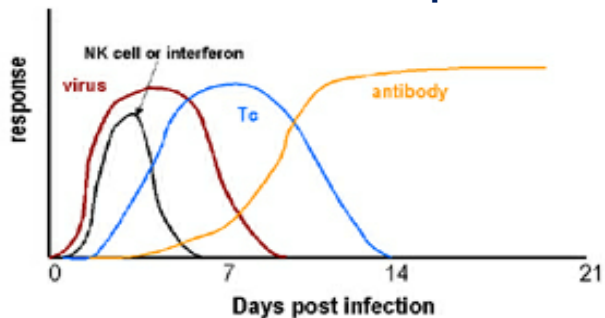
• favipiravir (analog guanosinu a adeninu)





Rekonvalescence

- **INTERFERON – nežádoucí účinky obsahují**
Horečku, myalgií, únavu, nechutenství
- **Buňkami-zprostředkovaná imunitní odpověď**



- **Zahojení tkáně**
trvá nějaký čas

Typical response to an acute virus infection

Ochrana proti re-infekci

- IgG a IgA
 - IgG je méně efektivní, ale ochrana trvá déle

- Důležité jsou protilátky jak proti HA tak proti NA
 - Protilátky proti HA jsou důležitější (neutralizační)

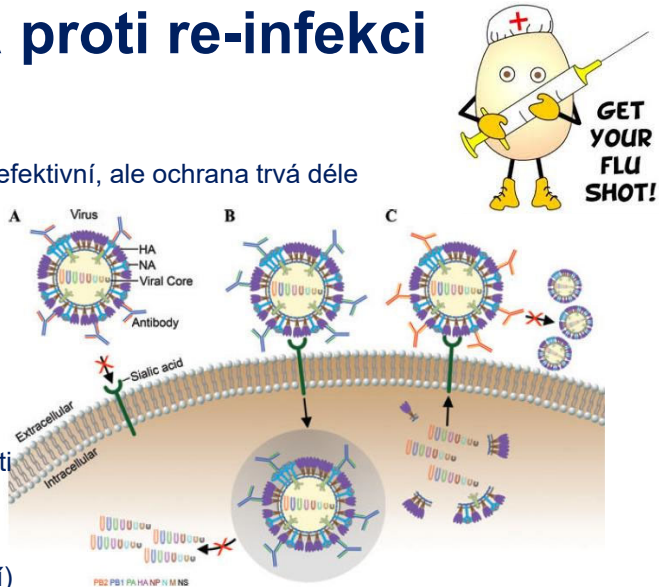
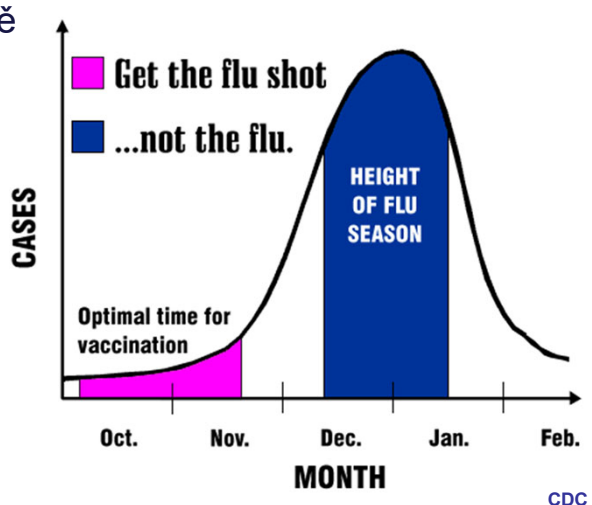


Figure 1. Mechanisms of antibody-mediated neutralization of the influenza virus. (A) Antibodies can block influenza HA1 glycoprotein binding to sialic acid residues of receptor proteins on host cells. (B) Antibodies specific to the HA2 glycoprotein of the virus can inhibit its low-pH triggered fusion activity in the endosome at the postbinding/prefusion stage, which inhibits replication of the virus. (C) Antibodies to surface neuraminidase can prevent the release of influenza virions from the infected cell surface.

http://1.bp.blogspot.com/_uLtimdkZ-do/TnlyO6FPawI/AAAAAAAQ/4-JCvfv1kg/s1600/Influenza%2BVirus%2BNeutralization.JPG

Vakcinace

- V současné době rekombinantní
- A – H1 a H3
- B – Yamagata, Viktoria
- Inaktivovaná vakcína
- Intranasální vakcína



<https://upload.wikimedia.org/wikipedia/commons/thumb/d/d7/Reassortment.svg/800px-Reassortment.svg.png>



Courtesy of CDC

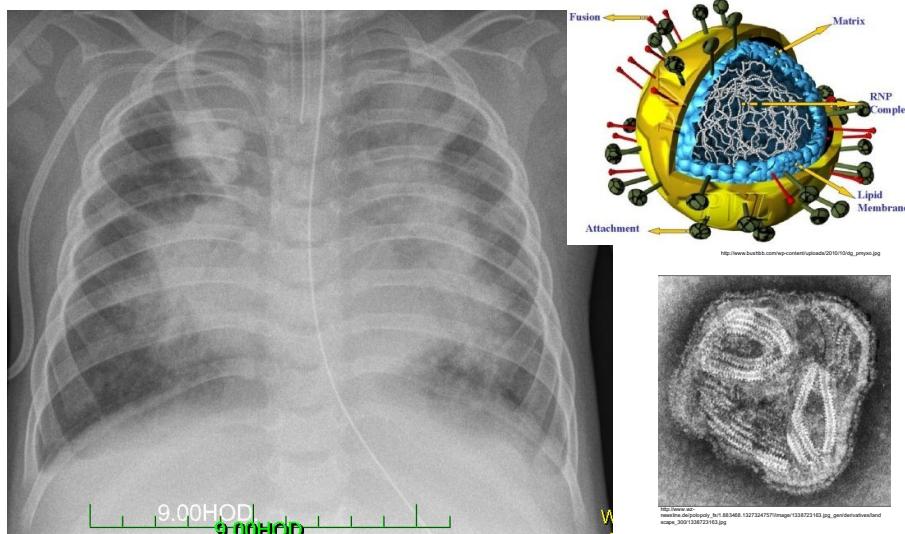
A co takhle Paramyxoviry



Paramyxoviridae

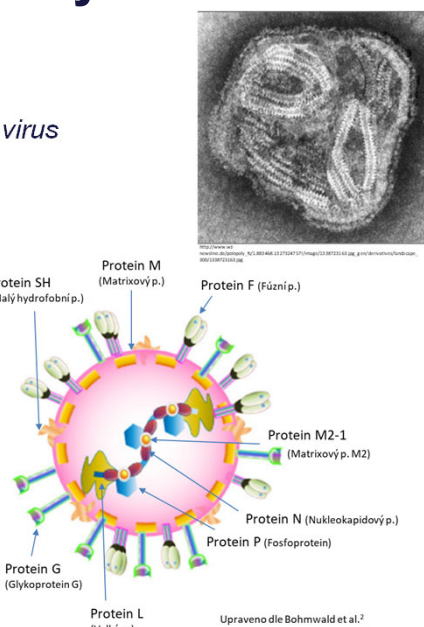
Respirační-synciciální virus

RSV (boy treated for AML)



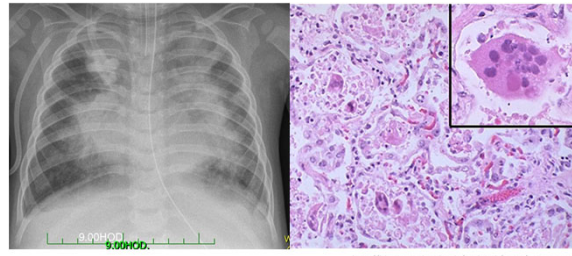
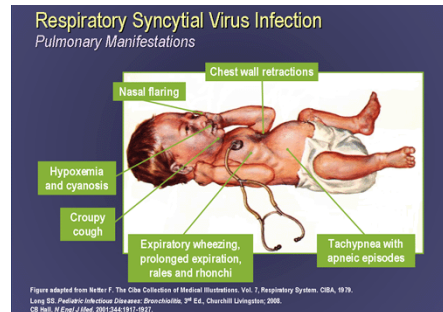
Respirační Syncyciální Virus

- Obalený negativní ss RNA virus
- *Pneumoviridae*, rod *Orthopneumovirus*
- 15 kb – 10 genů, 11 proteinů
- 9 strukturálních
 - 3 povrchové (**F**, **G**, **SH**)
 - 5 vnitřních (**L**, **P**, **N**, **M**, **M2.1**, **M2.2**)
- A (10 genotypů) – B (13 genotypů)
- Přenos kapénkovou cestou
- Množení v dýchacím epithelu
- Výskyt pozdní podzim až časné ja
(max. leden-únor)
- Inkubační doba 2-8 dní
- Přechod na LRI (bronchitidy, bronchiolitidy) mezi 5-7 dny



Příznaky RSV

- „chřipkové“ symptomy
- slyšitelné „hvízdání“ - dechová nedostatečnost
- anorexie
- nespavost
- dráždivost
- zvracení
- dušení
- suchý kašel
- laryngitida
- bronchitida/
bronchiolitida
- pneumonie



STARWARS RETURN OF THE JEDI

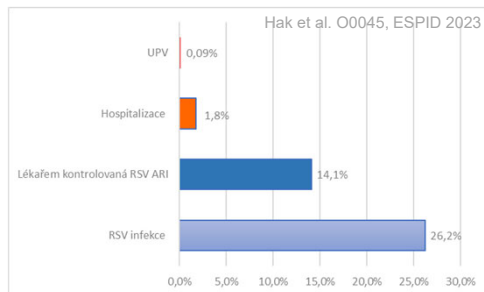
<https://www.youtube.com/watch?v=q38i7sJddqc>



RSV epidemiologie

- Nejčastější příčina **bronchiolitid & pneumonií u dětí < 1 roku**
- 25-40% dětí bronchiolitida nebo pneumonie během 1 RSV infekce
- 10,7 milionu LRTI - 0,4% zemřou**

(Cohen et al. Lancet Global Health 2022; 10: e169-e170)



Celosvětově se v roce 2015 předpokládalo, že RSV byl příčinou:

- 33,1 milionu akutní infekcí dolních dýchacích cest
- 3,2 milionu hospitalizací
- celkové mortality 118 200 u dětí < 5 (Shi et al. Lancet 2017; 390:946–58)
- u dospělých je uváděno 420 000 hosp. a 29 000 úmrtí v rozvinutých zemích
- séroprevalence v 1 roce 60-70%** (Obando-Pacheco P, et al. J Inf Dis 2018; 217: 1356–1364)
- metaanalýza prací za 25 let (186 publikovaných studií; 152 209 případy komunitních pneumonií u dětí (<18 let) RSV (22,7%) a HRV (22,1%)) (Pratt et al. Lancet 2022; 6: 555–570.)

Ko-infekce a rizikové faktory

Předčasný porod

- S vyšší pravděpodobností se rozvine chronické plicné onemocnění
- Hypersenzitivní ke stimulům
- Nedostatečně vyvinuté dýchací cesty a imunitní systém
- Nedostatečná koncentrace mateřských IgG protilátek

Faktory prostředí

- Chlapci
- Věk a měsíc narození dítěte
- Pobyt v kolektivech včetně jeslí
- Pasivní kouření

Faktory, které NEJSOU pozitivně korelovány s RSV

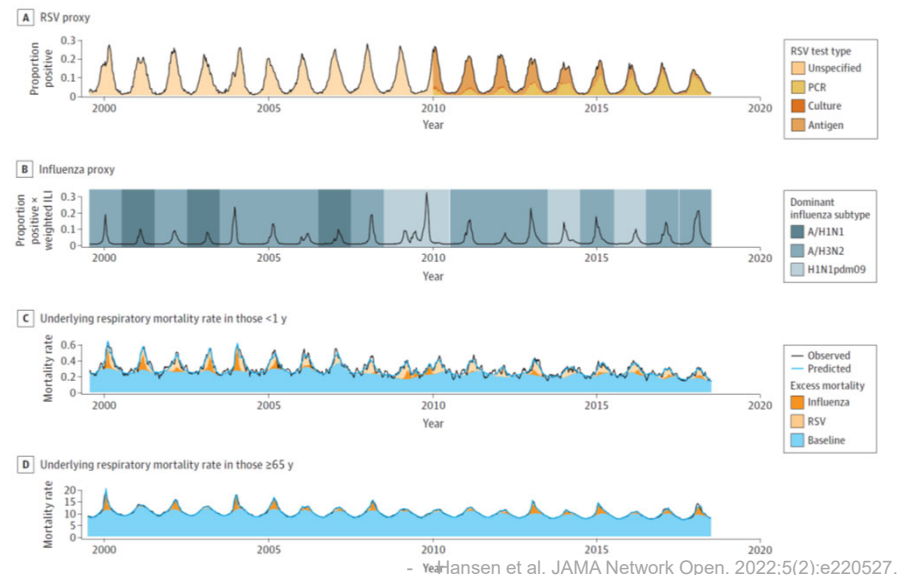
- Socioekonomický status
- Špatná výživa
- Kojení



<https://www.lancastergeneralhealth.org/health-hub-home/motherhood/your-pregnancy/differences-between-term-and-preterm-newborns>

RSV epidemiologie

Figure 2. Weekly Time Series for Respiratory Syncytial Virus (RSV) and Influenza Surveillance Proxies and the Underlying Respiratory Mortality Rate per 100 000 Population in Children Younger Than 1 Year and Adults Aged 65 Years or Older



RSV epidemiologie

Table. Estimated Mean, Annual Age-Specific Influenza and RSV Deaths and Mortality Rates per 100 000 Population, 1999-2000 to 2017-2018, US

Underlying cause of death and age group, y	RSV deaths, No. (95% CI)	RSV mortality rate per 100 000 population (95% CI)	Influenza deaths, No. (95% CI)	Influenza mortality rate per 100 000 population (95% CI)
Pneumonia and influenza				
<1	47 (45 to 49)	1.2 (1.1 to 1.2)	18 (16 to 21)	0.5 (0.4 to 0.5)
1-4	5 (3 to 6)	0.0 (0.0 to 0.0)	23 (21 to 25)	0.1 (0.1 to 0.2)
5-49	59 (46 to 72)	0.0 (0.0 to 0.0)	419 (403 to 436)	0.2 (0.2 to 0.2)
50-64	250 (229 to 272)	0.5 (0.4 to 0.5)	635 (606 to 664)	1.1 (1.1 to 1.2)
≥65	2655 (2506 to 2804)	6.7 (6.3 to 7.1)	4168 (3968 to 4367)	10.2 (9.7 to 10.7)
Total	3016 (2829 to 3203)	1.0 (0.9 to 1.1)	5263 (5014 to 5512)	1.7 (1.7 to 1.8)
Respiratory				
<1	96 (92 to 99)	2.4 (2.3 to 2.5)	23 (19 to 27)	0.6 (0.5 to 0.7)
1-4	20 (18 to 22)	0.1 (0.1 to 0.1)	24 (21 to 27)	0.2 (0.1 to 0.2)
5-49	124 (108 to 141)	0.1 (0.1 to 0.1)	519 (497 to 541)	0.3 (0.3 to 0.3)
50-64	508 (460 to 556)	1.0 (0.9 to 1.0)	1322 (1260 to 1384)	2.4 (2.2 to 2.5)
≥65	5800 (5461 to 6139)	14.7 (13.8 to 15.5)	8284 (7855 to 8713)	20.5 (19.4 to 21.5)
Total	6549 (6140 to 6958)	2.2 (2.0 to 2.3)	10 171 (9652 to 10 691)	3.4 (3.2 to 3.5)

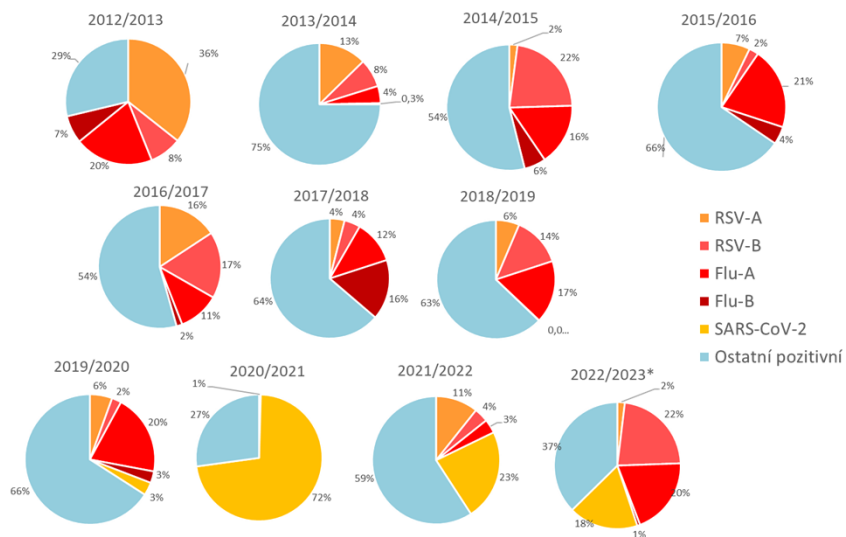
This cross-sectional study used data from 50.3 million US death certificates from 1999 to 2018 to create age-specific linear regression models and assess weekly mortality fluctuations above a seasonal baseline associated with RSV and influenza. Statistical analysis was performed for 1043 weeks from January 3, 1999, to December 29, 2018.

There were 50.3 million death certificates (50.1% women and 49.9% men; mean [SD] age at death, 72.7 [18.6] years) included in this analysis, 1.0% of children younger than 1 year and 73.4% for adults aged 65 years or older.

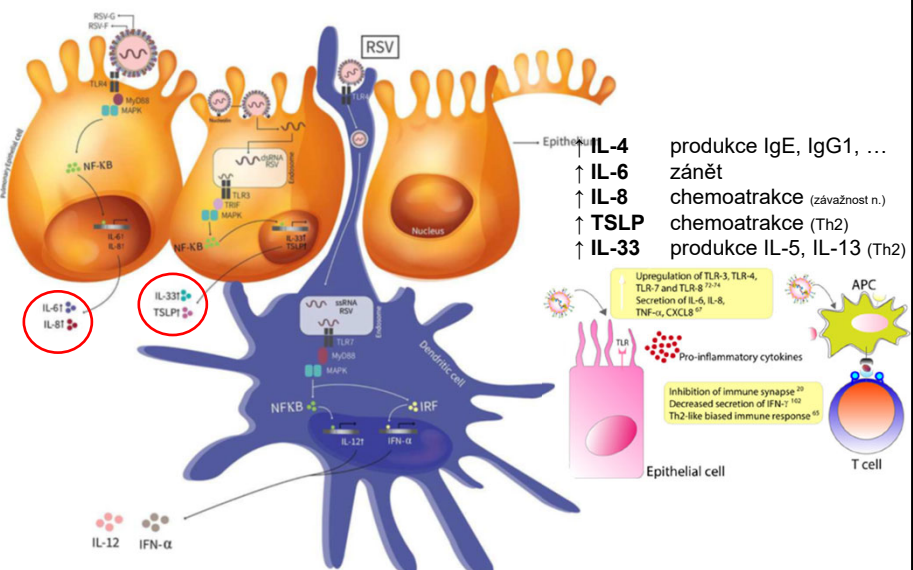
- Hansen et al. JAMA Network Open. 2022;5(2):e220527.

RSV epidemiologie

Detekce RSV (A a B), viru chřipky A a B a SARS-CoV-2 ve FN v Motole v respiračních sezónách 2012-leden 2023.



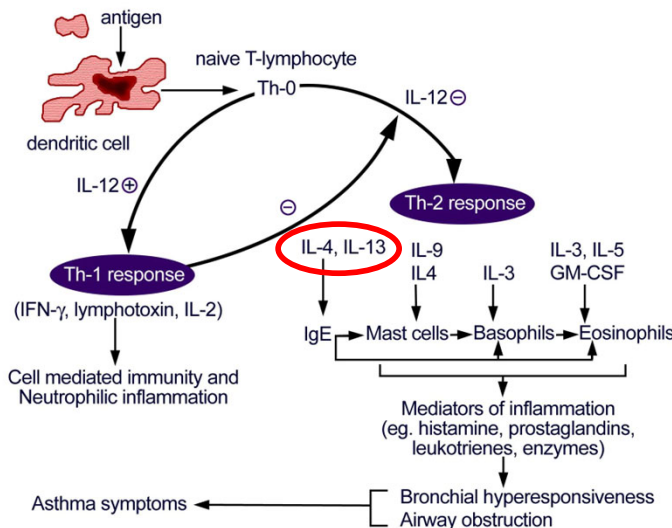
Patofyziologie RSV



Vázquez et al. Frontiers in immunology 10.3389/fimmu.2019.01154

Bohmwald et al. Cytokines Induced by hRSV Infection, 2019

Patofyziologie astmu



<https://img.medscapestatic.com/pi/meds/ckb/23/38523tn.jpg>

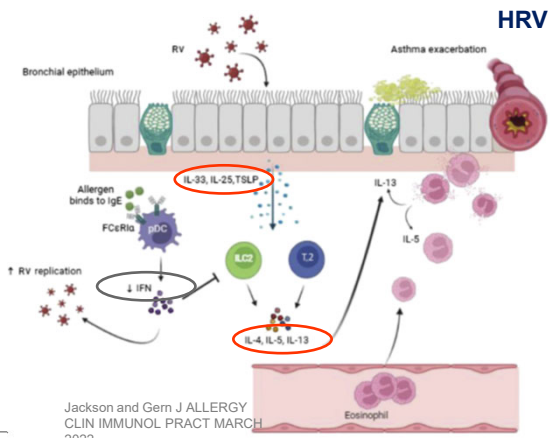
Patofyziologie RSV

TABLE 1 | Effect of RSV infection on the expression profile of cytokines in the upper and lower respiratory tract and central nervous system.

Organism	Upper respiratory tract	Lower respiratory tract	Central nervous system
Human			
	↑IL-6 (57, 58)		↑IL-6 (14, 15, 59)
	↑TNF- α (63, 64)	↑TNF- α (57, 58)	
	↑IL-12 (65)	↑IL-4 (60-62)	
	↑IL-23 (65)	↑IL-8 (50)	
		↑IL-9 (60-66)	
		↓IL-10 (60-62, 67-69)	
		↑IL-13 (60-62)	
		↓IL-17 (70, 71)	
		↑TSLP (72)	
	↑CXCL8 (74)		
	↑CCL5 (74)	↑CCL3 (57, 58, 75)	↑CCL2 (15)
	↑CXCL10 (74)	↑CCL4 (57, 58)	↑CCL4 (15)
		↑CCL2 (57, 58)	↑CXCL8 (15)
			↑CCL5 (57, 58, 75)

NS1 & NS2 RSV inhibují tvorbu IFN- α/β
Inhibice IFN- γ následně způsobí zvýšenou produkci IgE

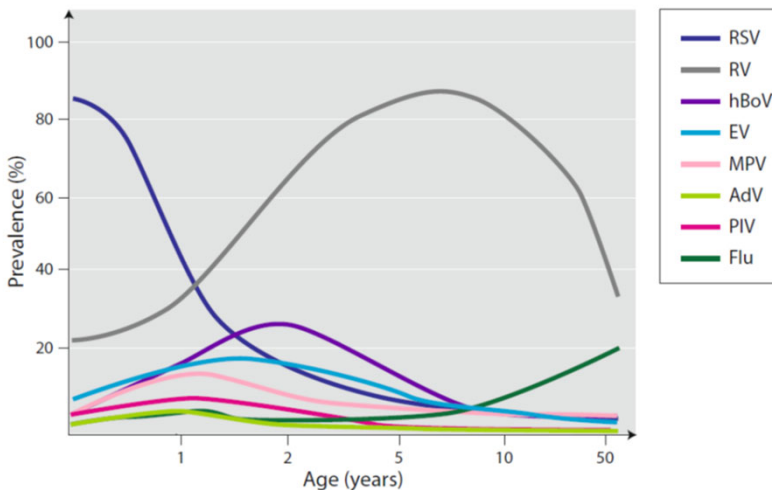
Glykoprotein F RSV inhibuje aktivaci T lymfocytů
CD8+ lymfocyty infikované RSV nejsou schopny
uvolňovat IFN- γ



Jackson and Gern J ALLERGY
CLIN IMMUNOL PRACT MARCH
2022

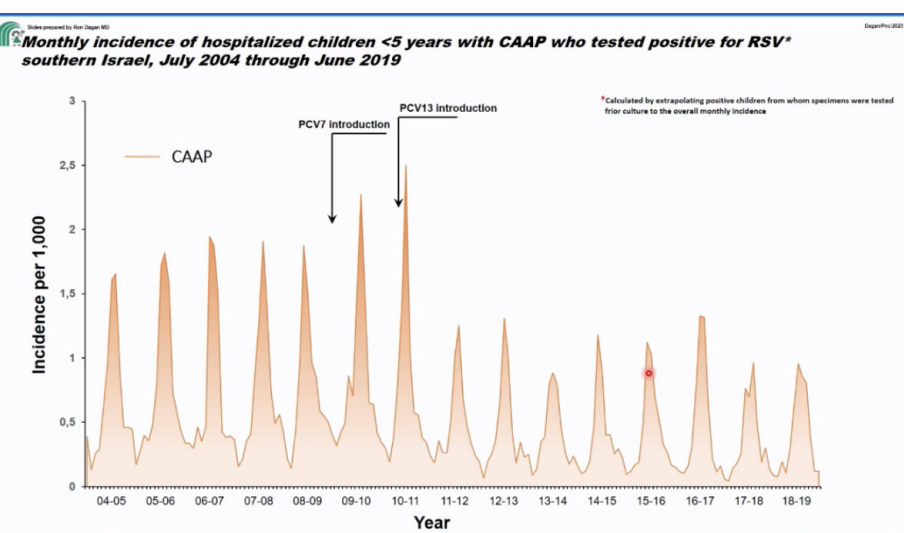
WILEY Allergy

Patofiziologie RSV



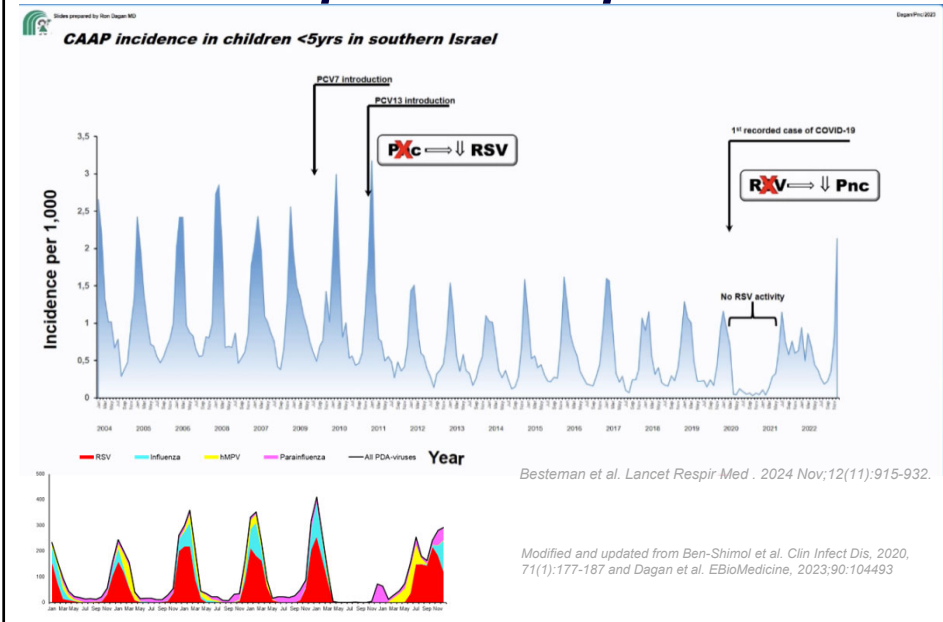
Jartti et al. Semin Immunopathol . 2020 Feb;42(1):61-74.

RSV a Streptococcus pneumoniae



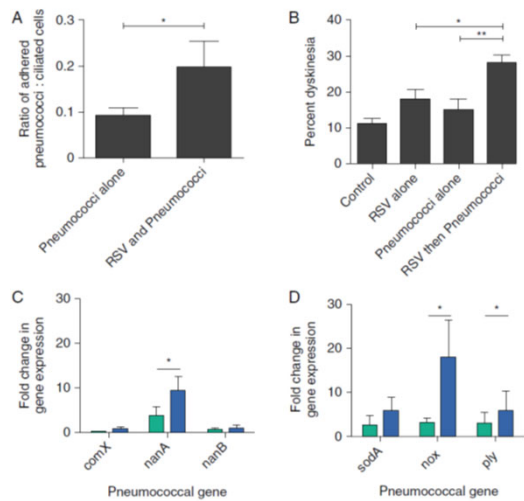
Besteman et al. Lancet Respir Med . 2024 Nov;12(11):915-932.

RSV a *Streptococcus pneumoniae*



RSV a *Streptococcus pneumoniae*

G glykoprotein RSV se váže na penicillin binding protein 1a.



G protein RSV se zdá, že funguje na infikovaných buňkách jako receptor pro *Str. pneumoniae* a tak usnadňuje bakterii průnik do buňky.

Přítomnost G proteinu RSV také vedla ke změně exprese u 157 genů: exprese 99 byla zvýšena, 58 snížena.

↑pneumolysin

Smith et al. Am J Respir Crit Care Med. 2014 Jul

Table 1. Secreted Cytokine and Chemokine Concentrations in Cell Culture Supernatant after 2-Hour Exposure of *Streptococcus pneumoniae* to Mock or RSV-infected Human Ciliated Epithelial Cells

Chemokine cytokine (pg/ml)	Mock*		RSV*	
	Control†	Pneumococcus†	Control†	Pneumococcus†
IFN-γ	12 (10–15)	20 (15–20)	17 (14–25)	20 (19–25)
IL-1β	2 (2–4)	4 (3–4)	6 (5–12)	5 (4–6)
IL-12p70	2 (2–2)	3 (3–4)	2 (2–3)	4 (3–4)
TNF-α	7 (6–8)	10 (10–15)	12 (9–19)	19 (14–19)‡
IL-5	3 (2–3)	4 (4–4)	5 (4–16)	6 (4–6)‡
IL-13	6 (5–7)	10 (8–11)	6 (5–22)	10 (9–11)
CCL11	72 (68–73)	92 (90–93)	68 (63–153)	93 (93–99)
CCL4	1 (1–1)	2 (2–3)	2 (2–12)	3 (3–4)
CCL17	35 (26–36)	48 (48–49)	30 (23–89)	52 (51–58)
CCL22	91 (91–101)	131 (123–138)	141 (122–335)	167 (128–191)‡
CXCL8	30 (26–62)	98 (83–152)	159 (104–1,319)	271 (93–457)‡

Definition of abbreviations: RSV = respiratory syncytial virus; TNF = tumor necrosis factor.

Data are shown as median and interquartile range (in parentheses).

Statistical differences from the "Mock-control" sample were calculated using a paired *t* test.

Significant changes ($P < 0.05$) from the mock control are highlighted in bold.

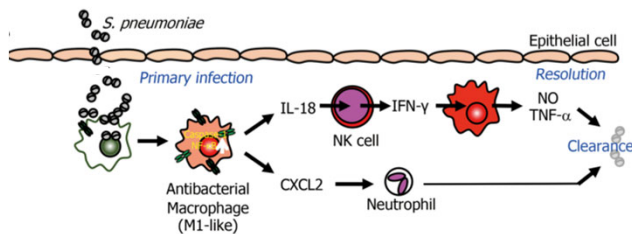
*Primary infection (for 72 h).

†Secondary infection (for 2 h).

‡Significant difference ($P < 0.05$) between the "Mock-pneumococcus" and "RSV-pneumococcus" samples ($n = 5$).

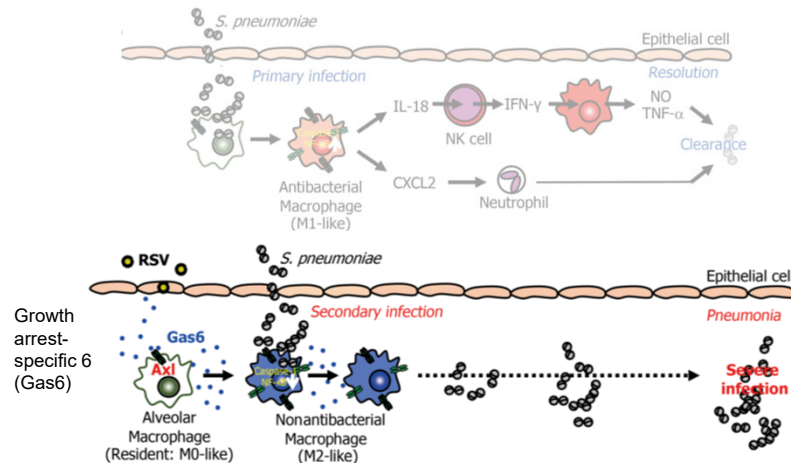
Smith et al. Am J Respir Crit Care Med. 2014 Jul

RSV a *Streptococcus pneumoniae*



Shibata et al. J Clin Invest. 2020 Jun 1;130(6):3021-3037.

RSV a *Streptococcus pneumoniae*



Gas6/Axl je také zapojena do vývoje IgA nefropatie

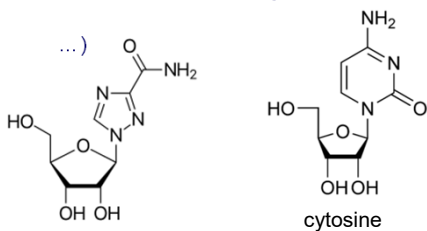
Shibata et al. J Clin Invest. 2020 Jun 1;130(6):3021-3037.

RSV terapie

- Většinou symptomatická
- O₂, bronchodilatantia, kortikoidy
- U hospitalizovaných se dají použít i steroidy, epinefrine a ipratropium bromide



• cíleně u těžkých pacientů ribavirine



(dle in vitro studií i remdesivir, favipiravir

Fourth European Conference on Infections in Leukaemia (ECIL-4): Guidelines for Diagnosis and Treatment of Human Respiratory Syncytial Virus, Parainfluenza Virus, Metapneumovirus, Rhinovirus, and Coronavirus
REVIEW ARTICLE
CID 2013
Hans H. Hirsch,^{1,2} Rodrigo Martino,³ Katherine N. Ward,⁴ Michael Boeckh,⁵ Hermann Einsele,⁶ and Per Ljungman^{7,8}

Oral ribavirin for treatment of respiratory syncytial virus and parainfluenza 3 virus infections post allogeneic haematopoietic stem cell transplantation

J Casey¹, K Morris¹, M Narayana¹, M Nakagaki² and GA Kennedy^{1,3}

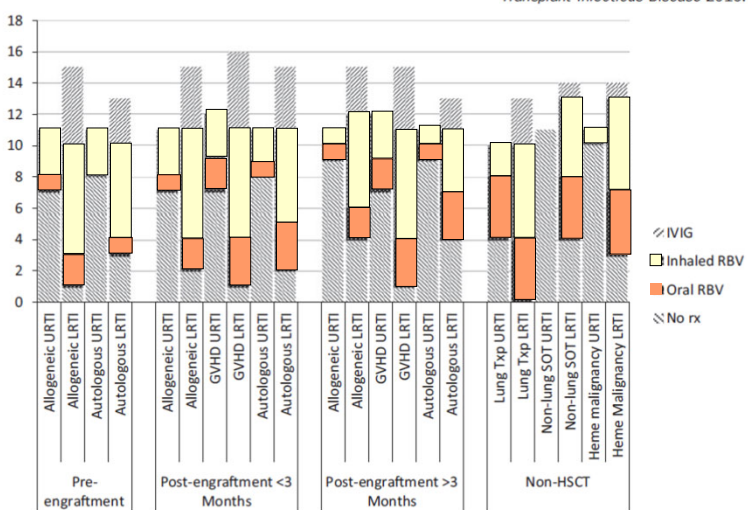
BMT 2011

p.o. ribavirine 10-30 mg/kg/D ve 3 dávkách

Current practices for treatment of respiratory syncytial virus and other non-influenza respiratory viruses in high-risk patient populations: a survey of institutions in the Midwestern Respiratory Virus Collaborative

Beard et al: Management of RSV in high-risk adults

Transplant Infectious Disease 2016; **18:** 210–215



RSV terapie

GS-5734 = remdesivir

Virus Family	Virus	Strain	Assay Type	Nuc EC ₅₀ /EC ₉₀ (μM)/[SI]	GS-5734 EC ₅₀ /EC ₉₀ (μM)/[SI]
Filo-	EBOV	Rec. Mayinga-GFP	REP	1.6/6.7/[31]	0.066/0.203/[151]
		Rec. Mayinga-Gluc	REP	3.1/11/[16]	0.021/0.053/[476]
		Rec. Makona-ZSG	REP	1.3/3.3/[38]	0.014/0.045/[714]
	MARV	Makona	VTR	1.0/2.5/[50] [#]	0.003/0.019/[666] [†]
		Rec. Bat371-Gluc	REP	NT	0.019/0.052/[526]
	Rec. Bat371-GFP	REP	1.9/4.6/[26]	0.014/0.047/[714]	
Paramyxo-	NiV	Rec. M-Luc2AM	REP	1.5/5.7/[33]	0.045/0.126/[184]
		Rec. M-GFP2AM	REP	2.2/4.0/[22]	0.029/0.053/[286]
		M-1999	VTR	0.49/1.4/[102] [#]	0.047/0.083/[180] [†]
		B-2004	VTR/CPE	0.83/2.2/[60] [†]	0.032/0.106/[259]
	HeV	1996	VTR/CPE	1.0/1.8/[50] [†]	0.055/0.117/[150]
	hPIV3	Rec. JS-GFP	REP	0.51/1.0/[98]	0.018/0.35/[461]
	MV	Rec. rMV ^Δ GFP(3)	REP	1.0/2.6/[50]	0.037/0.073/[224]
	EZ vaccine	AG	2.0/5.1/[25]	NT	
	MuV	IA 2006	AG	9.7/26.3/[5]	0.79/3.4/[10]
	RSV	Rec. rgRSV224 (A2)	REP	0.63/2.2/[79]	0.021/0.059/[395]
Pneumo-	hMPV	Rec. CAN97-83-GFP	REP	0.73/1.7/[NT]	NT
	RVFV	Rec. ZH501-GFP	REP	No inhibition	No inhibition
	CCHF	Rec. IbAr 10200	AG	No inhibition	No inhibition
	ANDV	Chile 9717869	AG	NT	7.0/10.1/[1.4]
Arena-	LASV	Josiah	AG	No inhibition	4.5/5.1/[2.2]
Rhabdo-	VSV	New Jersey	CPE	No inhibition	No inhibition
Flavi-	AHFV	200300001	CPE	49.9/ > 150/[NT]	4.2/17.6/[2.4]
	KFDV	P9605	CPE	46.3/ > 350/[NT]	1.8/3.4/[5.6]
	TBEV	Hypr	CPE	51.2/ > 150/[NT]	2.1/3.5/[4.8]
	OHFV	Bogoluvovska	CPE	50.6/ > 350 [NT]	1.2/3.9/[8.3]

Lo et al. *Scientific Reports* 2017 | 7:43395 | DOI: 10.1038/srep43395



RSV prevence



palivizumab (Synagis) – protilátká proti F proteinu

- Podává se i.m. měsíčně
- Může redukovat hospitalizace vysoce rizikových dětí až o 45%
- Indikace:
 - u dětí narozených ve 35. týdnu těhotenství nebo dříve, které jsou na začátku RSV sezony mladší než 6 měsíců
 - u dětí mladších dvou let, u kterých byla potřebná léčba bronchopulmonální dysplazie v posledních 6 měsících
 - u dětí mladších dvou let s hemodynamicky významnou vrozenou srdeční vadou.
- Doporučené dávkování palivizumabu je 15 mg/kg t.h.



nirsevimab (Beyfortus) – protilátká proti F proteinu

- Podává se i.m. 1x za 3 měsíce
- Doporučená dávka je jednorázová dávka 50 mg i.m. u dětí < 5 kg jednorázová dávka 100 mg i.m. pro malé děti ≥ 5 kg
- terminální poločas byl přibližně 69 dní

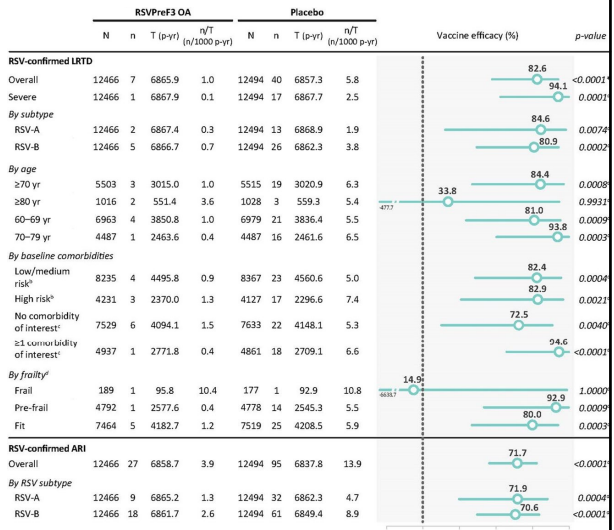
RSV prevence vakcíny

Arexvy

(FDA approval 18.5.2023)

**– GSK u lidí starších
60 let**

Figure 1. Vaccine efficacy against first episodes of RSV-confirmed LRTD and RSV-confirmed ARI (modified exposed set)



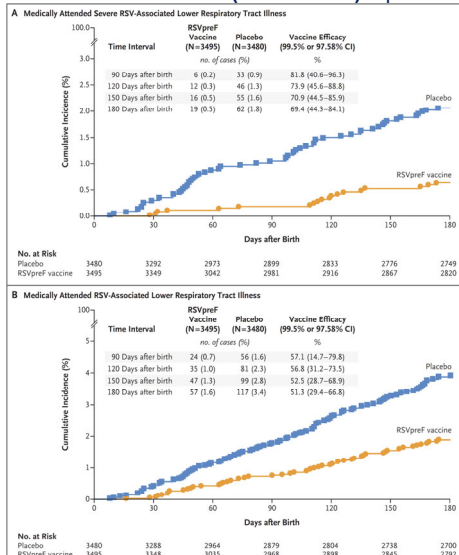
Cases reported up to the efficacy data lock-point of 31 April 2022. N, number of participants in the modified exposed set; n, number of participants with ≥1 RSV-confirmed LRTD (identified by the adjudication committee) or ≥2 RSV-confirmed ARI; T, sum of follow-up time (from day 1 post-vaccination until first occurrence of the event, date lock point or drop-out); p-yr, person-years; n/T, incidence rate of participants reporting at least one event; Error bars represent 95% confidence intervals (CI) for primary objective (RSV-confirmed LRTD, overall) and 95% CI for other endpoints. *Two-sided exact p-value conditional to number of cases comparing incidence rates; †Two-sided exact p-value conditional to number of cases comparing incidence rates; ^aComorbidity of interest: participants with ≥1 comorbidity of interest; ^bComorbidities of interest include chronic obstructive pulmonary disease, asthma, any chronic respiratory/pulmonary disease, chronic heart failure, diabetes mellitus type 1 or type 2 and advanced liver or renal disease. ^cFrailty status assessed using a gait speed test; frail, participants with a walking speed <0.4 m/s or not able to perform the test; pre-frail, participants with a walking speed of 0.4–0.99 m/s; fit, participants with a walking speed ≥1 m/s. Note: RSV subtype was unknown for 1 RSV-confirmed LRTD and 2 RSV-confirmed ARI episodes.

<https://www.gsk.com/en-gb/media/press-releases/gsk-s-older-adult-respiratory-synctial-virus-rsv-vaccine->

RSV prevence - vakcíny

Proteinová vakcina Pfizer (FDA 18.5.2023 doporučeno) –

vakcína v těhotenství (2-3 trimestr) a pro starší dospělé



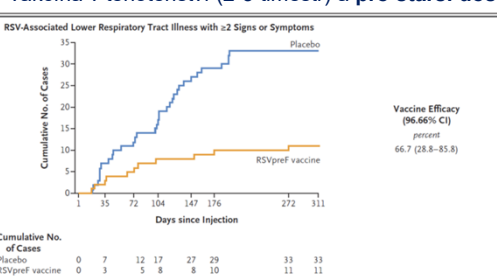
The NEW ENGLAND JOURNAL of MEDICINE

Kapmann et al. N Engl J Med 2023;388:1451-64.
DOI: 10.1056/NEJMoa2216480

RSV prevence - vakcíny

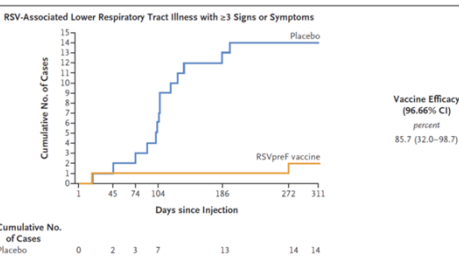
Proteinová vakcina Pfizer (FDA 18.5.2023 doporučeno) –

vakcína v těhotenství (2-3 trimestr) a pro starší dospělé



The NEW ENGLAND JOURNAL of MEDICINE

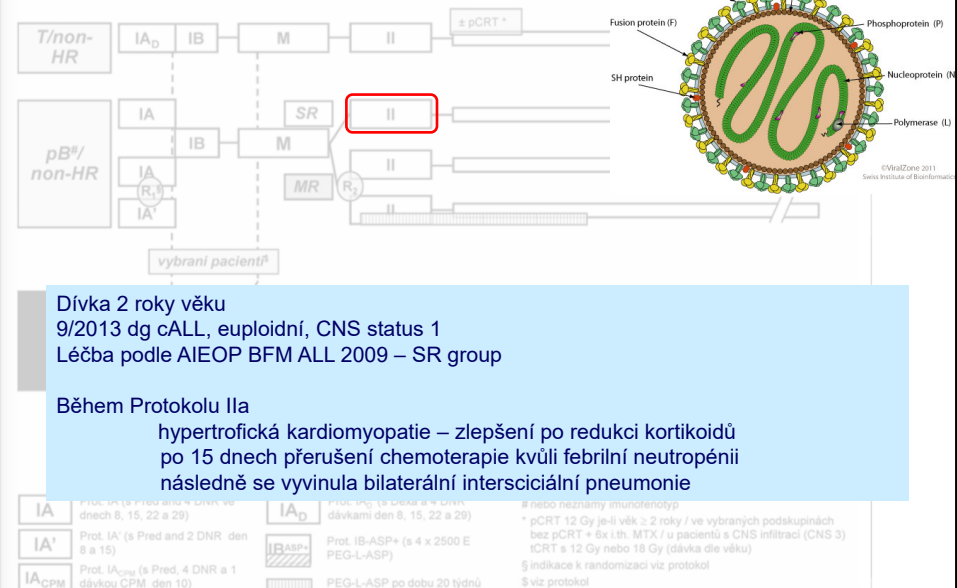
Walsh et al. N Engl J Med 2023;388:1465-77.
DOI: 10.1056/NEJMoa2213836



Paramyxoviridae

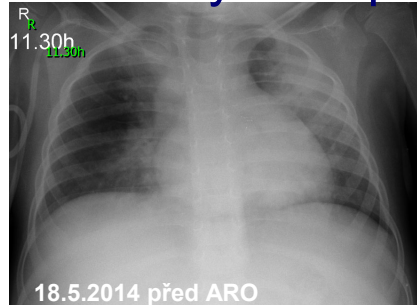
lidský metapneumovirus (hMPV)

AIEOP-BFM ALL 2009

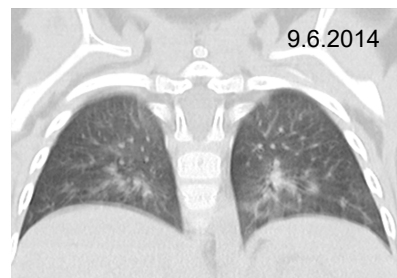


Paramyxoviridae

lidský metapneumovirus (hMPV)



- 9.5.2014 pozitivní NF výtěr na hMPV
- Léčba:
 - IVIG (substituce 0,3 g/kg - 4 dávky)
 - ribavirine 6 mg/kg á 8 hod p.o. 5 týdnů
- Respirační selhání s UPV 8 dní (FiO₂ 1,0)
- hMPV potvrzeno z ETR
- hMPV pozitivita trvala 4 týdny
- Kontrolní CT 10 dní po UVP regrese



Po 4 týdnech přerušení dokončil Protokol IIa.

Paramyxoviridae

Parainfluenzavirus 4

Chlapec dg. ve 4 měsících věku s Ommenovým sy. (RAG2 mut.)

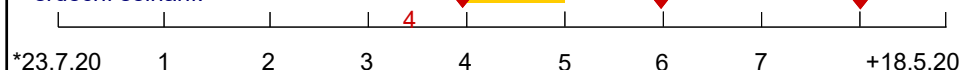
Před HSCT nutnost O_2 terapie s PIV-4 detekcí.
Začal p.o. ribavirine
15 mg/kg/d ve 3 dávkách kombinované s IVIG po 12 dnech začal conditioning.

Conditioning v 5 měsících věku:
fludarabine, busulfan,
alemtuzumab
Ribavirine přerušen děhem terapie busulfan.

Štěp: CB

Trvající pozitivita PIV-4 po dobu 4 měsíců.

Zemřel D+139 na akutní srdeční selhání.



Koronaviry

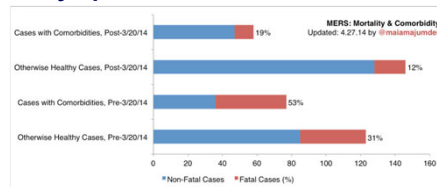
- Coronaviridae
- ss (+) RNA, délka genomu 26-32 kb (největší RNA virus)
- první identifikován v polovině 60. let
 - α – HCoV 229E a NL63
 - β - HCoV OC43, HKU1, SARS-CoV (severe acute respiratory syndrome), a MERS-CoV (Middle East Respiratory Syndrome), SARS-CoV-2

• SARS

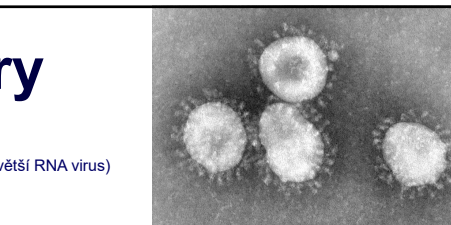
- Buněčný receptor – ACE2
- Mortalita – přibližně 9.5%

• Inkubační doba – 2-4 dny

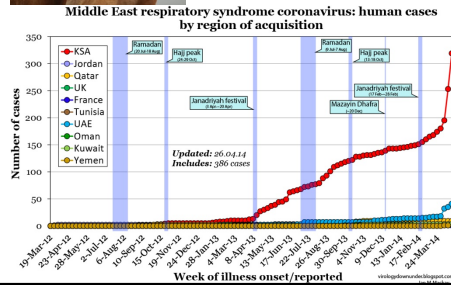
• Symptomatická léčba



https://maimunajamunder.files.wordpress.com/2014/04/mers_comorbidity_mortality_4-271.png



MERS - přenos spojený s velbloudy, jejich mlékem, syry



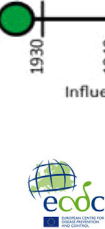
Middle East respiratory syndrome coronavirus: human cases by region of acquisition

Updated: 26.04.14
Includes: 586 cases



http://www.wired.com/images_blogs/wiredscience/2013/04/2013-coronavirus.jpg

Koronaviry jsou tu dloho



Influenza virus 1933

Coxsackievirus 1948

Echovirus 1951

Adenovirus 1953

HRV 1953

HRSV 1956

HPIV 1956

HCoV-229E 1966

HCoV-OC43 1967

Prevention

HMPV 2001

SARS-CoV 2003

HCoV-NL63 2004

HCoV-HKU1 2005

HBoV 2005

HRV-C 2006

WUPyV 2007

KIPyV 2007

MCV 2008

HPyV6 2010

HPyV7 2010

HPyV8-TSV 2010

HPyV9 2011

HPyV10 2012

HCoV MERS 2012

SARS-HCoV-2

Novel coronavirus

Coronaviruses are viruses that circulate among animals but some of them are also known to affect humans.

The 2019 novel coronavirus was identified in China at the end of 2019 and is a new strain that has not previously been seen in humans.

Symptoms

FEVER

COUGH

DIFFICULTY BREATHING

MUSCLE PAIN

TIREDNESS

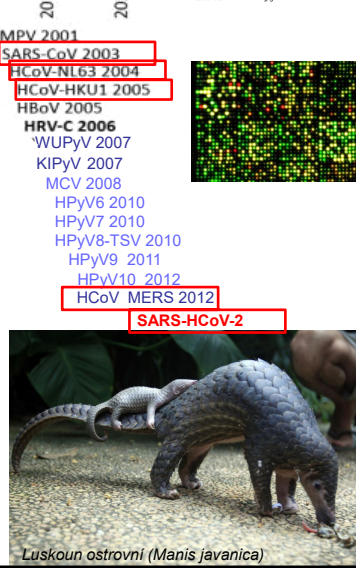


Transmission

VIA RESPIRATORY DROPLETS

2 – 14 days

estimated incubation period

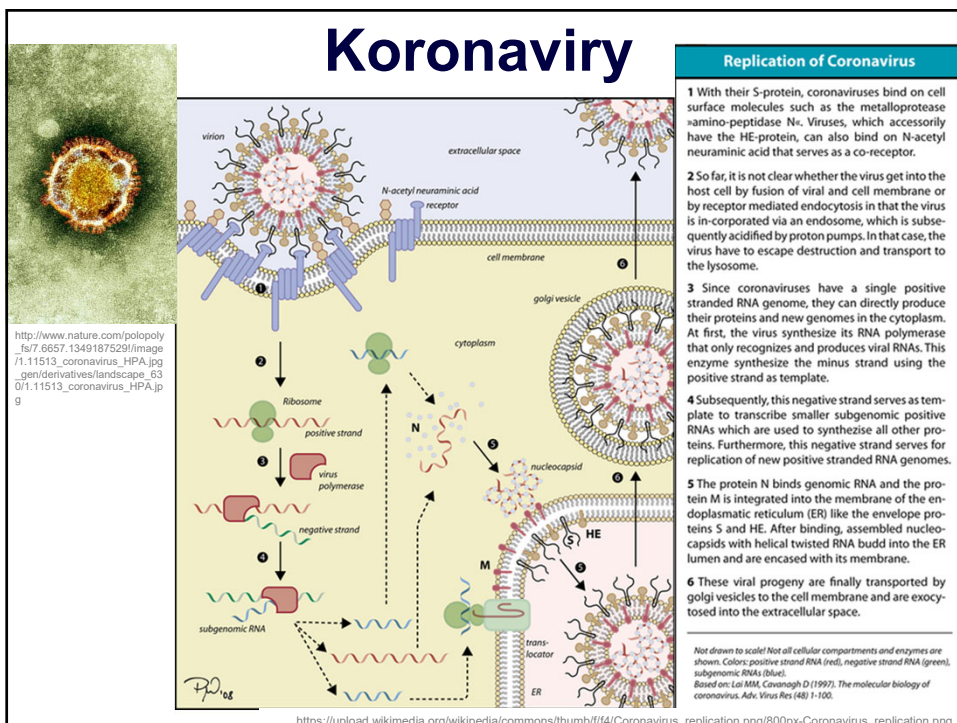


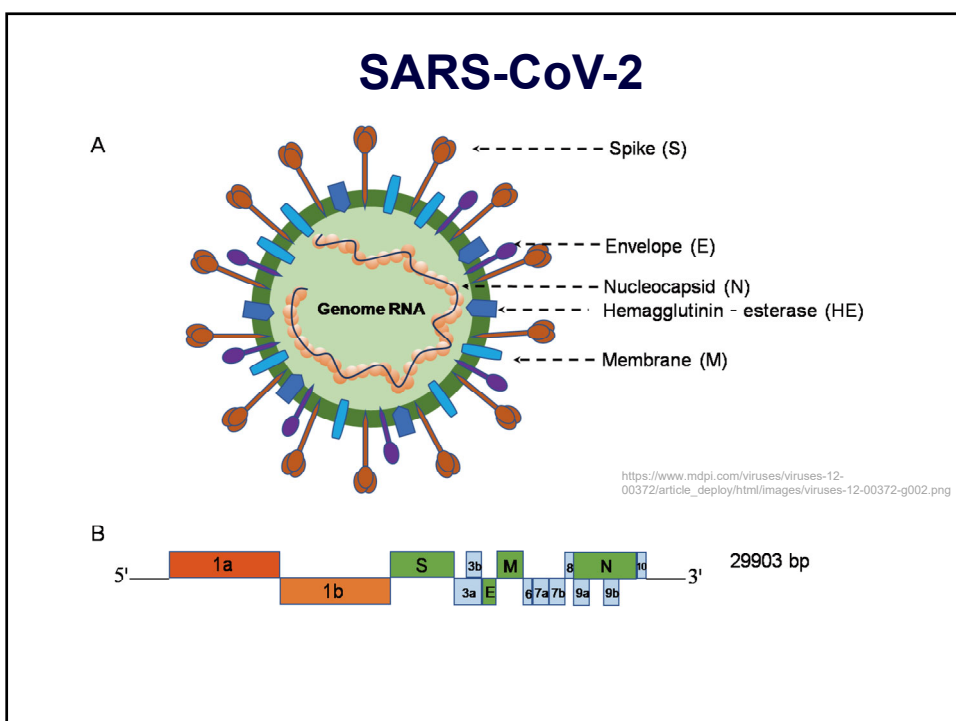
Luskoun ostrovní (*Manis javanica*)

Koronaviry

Čeleď a podčeleď	Rod	Podrod	Druh	Rok popsání	Klinické příznaky
Coronaviridae – Orthocoronavirinae	Alphacoronavirus	Duvinacoronavirus	Lidský koronavirus 229E (HCoV-229E)	1966	Lehčí respirační onemocnění typu „common cold“ s výrazným edémem sliznic. ID 2-5 dní
		Setracoronavirus	Lidský koronavirus NL63 (HCoV-NL63)	2004	Lehčí respirační onemocnění typu „common cold“ s výrazným edémem sliznic. ID 2-4 dní
	Embecovirus (skupina A)	Lidský koronavirus HKU-1 (HCoV-HKU-1)	2005	Lehčí respirační onemocnění typu „common cold“ s výrazným edémem sliznic. ID 2-4 dní	
		Lidský koronavirus OC43 (HCoV-OC43)	1967	Lehčí respirační onemocnění typu „common cold“ s výrazným edémem sliznic. ID 2-5 dní	
		Severe acute respiratory syndrome-related virus (SARS-CoV)	2003	Respirační onemocnění s těžším, život ohrožujícím průběhem. Popasná mortalita u těžších případů je přibližně 9,6 %. ID 2-11 dní	
	Betacoronavirus	Sarbecovirus (skupina B)	Severe acute respiratory syndrome-related virus 2 (SARS-CoV-2)	2019	Respirační onemocnění v celém rozsahu od asymptomatických a mírných případů (zatím popsaná přibližně polovina případů) až po život ohrožující případy. Dosud popsaná mortalita u těžších případů je přibližně 6,7 %; celkově pak přibližně 0,5–1 %. ID 2–14 dní
	Merbecovirus (skupina C)	Middle-East respiratory syndrome virus (MERS virus)	2012	Respirační onemocnění s těžším, život ohrožujícím průběhem. Popasná mortalita u těžších případů je přibližně 35,5 %. ID 2–13 dní	

V tabulce vynechán Realm (Riboviria), Říše (Orthornavirae), Kmen (Pisuviricota), Třída (Pisoniviricetes), Rád (Nidovirales) a Podřád (Cormidovirineae)





<ul style="list-style-type: none"> SARS-CoV (SARS) <ul style="list-style-type: none"> Buněčný receptor – ACE2 8 098 nakažených celosvětově Mortalita – přibližně 9.5% Inkubační doba – 2-4 dní Zvýšená teplota až horečka ($>38.0^{\circ}\text{C}$); bolesti hlavy, svalů, kloubů, diskomfort. U části pacientů mírný průběh. Asi 10-20% průjem, po 2 až 7 dnech možný suchý kašel a u většiny pneumonie. Virostatická (ribavirine + lopinavir/ritonavir) Symptomatická léčba 	<ul style="list-style-type: none"> SARS-CoV-2 (COVID-19) <ul style="list-style-type: none"> Buněčný receptor – ACE2 Zatím 4 510 963 nakažených celosvětově Mortalita – přibližně 6.7% Inkubační doba – 2-14 dní Teplota až horečka; bolesti hlavy, svalů, kloubů, diskomfort. U části pacientů mírný průběh. Po přibližně 7 dnech často zhoršení až intersticiální pneumonie. Virostatická (remdesivir, favipiravir,...) Symptomatická léčba Vakcíny...
<p>A</p> <p>Diagram illustrating the renin-angiotensin system. Angiotensinogen is converted to Angiotensin I by Renin. Angiotensin I is then converted to Angiotensin II by ACE1. Angiotensin II can bind to two types of receptors: AT1R (which is coupled to ACE2) or AT2. AT1R activation leads to proinflammatory, proapoptotic, profibrotic effects. AT2 activation leads to anti-inflammatory, anti-apoptotic, anti-fibrotic effects.</p> <p>https://www.physiciansweekly.com/wp-content/uploads/2020/04/AT1-receptor.png</p>	

SARS-CoV-2

Virus Environmental Stability

(relevance to personal safety unclear)

Half-life

(time to decrease 2-fold; not strictly constant)

Aerosols: ≈ 1 hr Surfaces: ≈ 1 - 10 hr
e.g. plastic, glass,
paper and metals

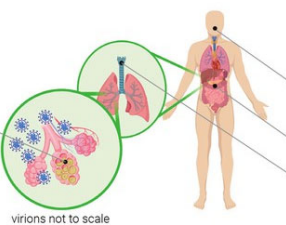
Based on quantifying infectious virions.

Numbers will vary between conditions and surface types.
Viral RNA observed on surfaces even after a few weeks.

Host Cells

(tentative list; number of cells per person)

Type I & II pneumocytes ($\sim 10^{11}$ cells)
Alveolar macrophage ($\sim 10^{10}$ cells)
Mucous cell in nasal cavity ($\sim 10^9$ cells)
Host cell volume: $\sim 10^3 \mu\text{m}^3 = 10^3 \text{ fL}$



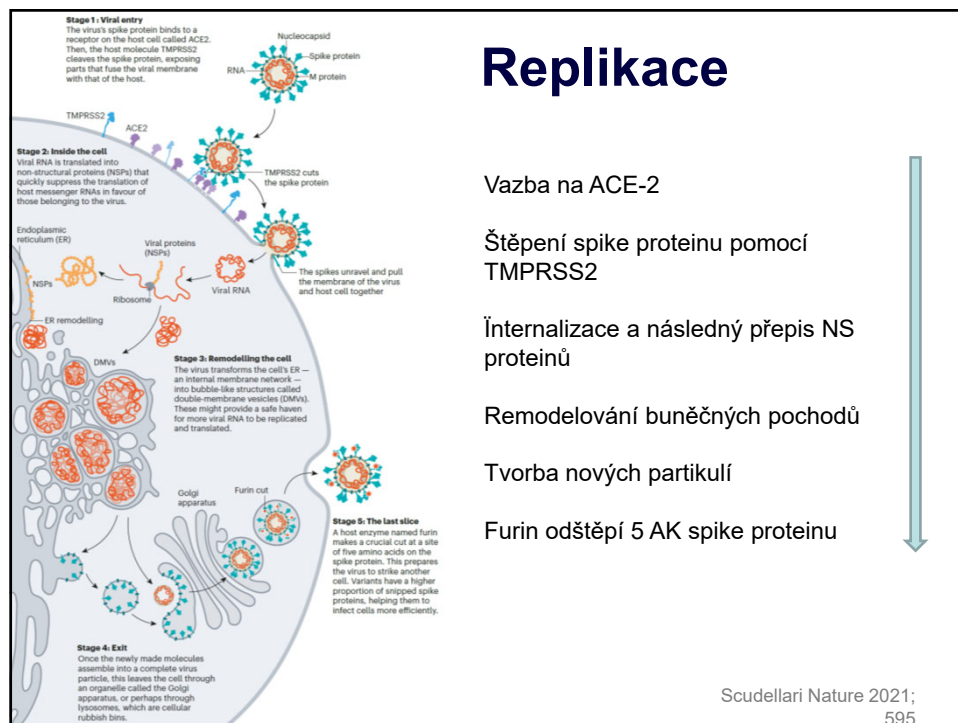
Concentration

(maximal observed values following diagnosis)

Nasopharynx: 10^6 - 10^9 RNAs/swab
Throat: 10^4 - 10^8 RNAs/swab
Stool: 10^4 - 10^8 RNAs/g
Sputum: 10^6 - 10^{11} RNAs/mL
RNA counts can markedly overestimate infectious virions

RNA je zpravidla 1000x víc než infekčních virových partikulí.

Bar-On eLifescience
2020



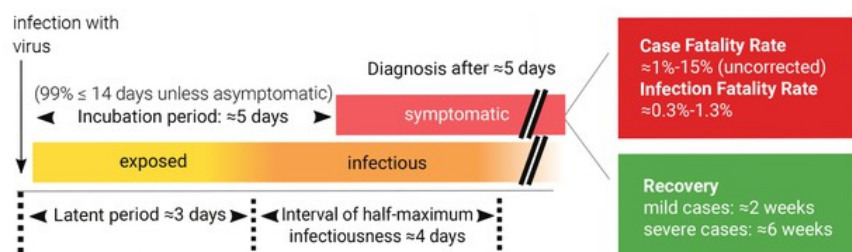
Patofiziologie

"Characteristic" Infection Progression in a Single Patient

Basic reproductive number R_0 : typically 2-4

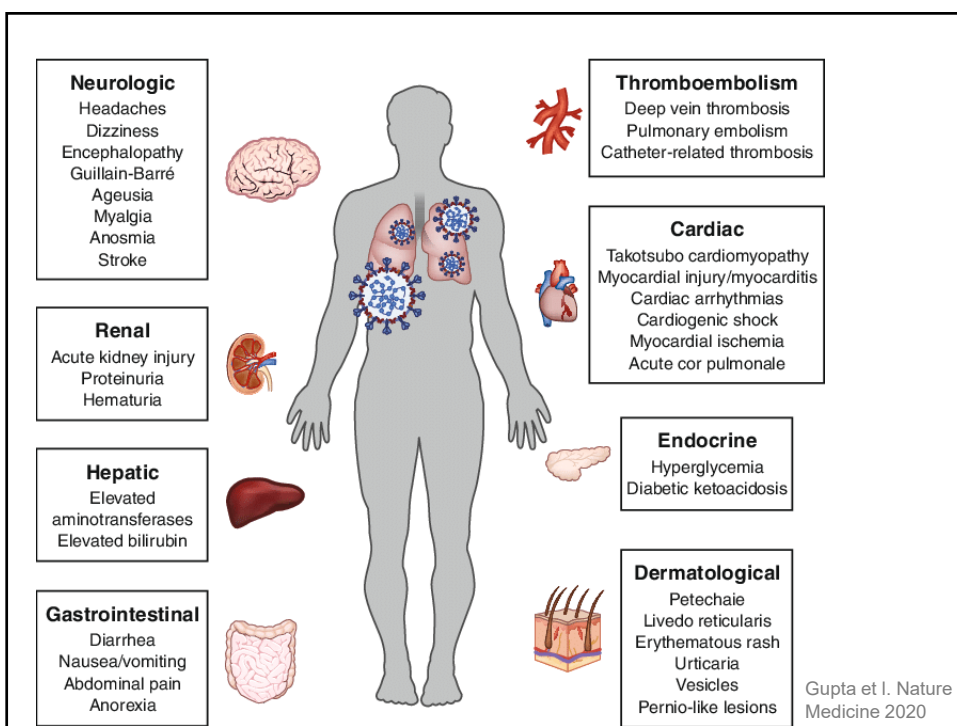
Varies further across space and time

(number of new cases directly generated from a single case)

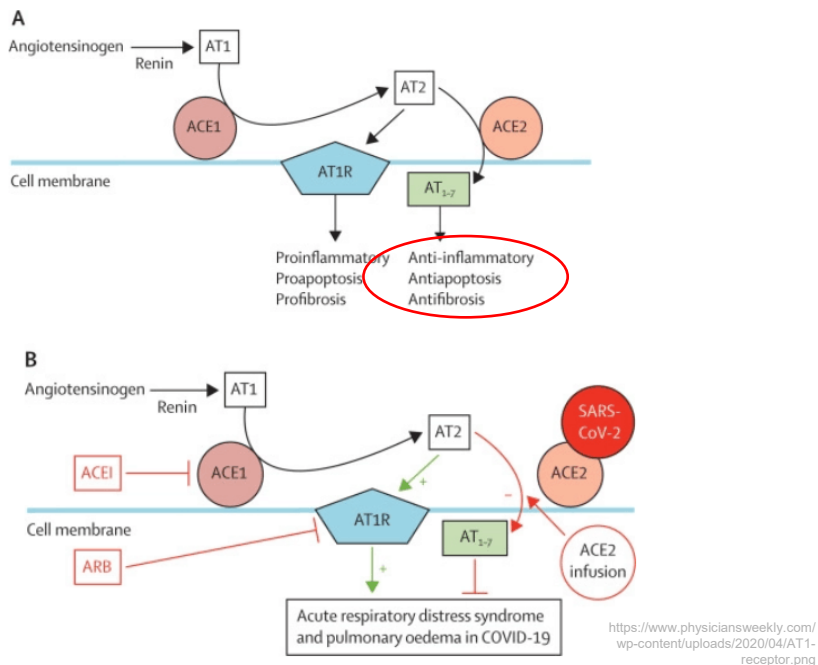


Inter-individual variability is substantial and not well characterized. The estimates are parameter fits for population median in China and do not describe this variability.

Bar-On eLifescience
2020



1



1

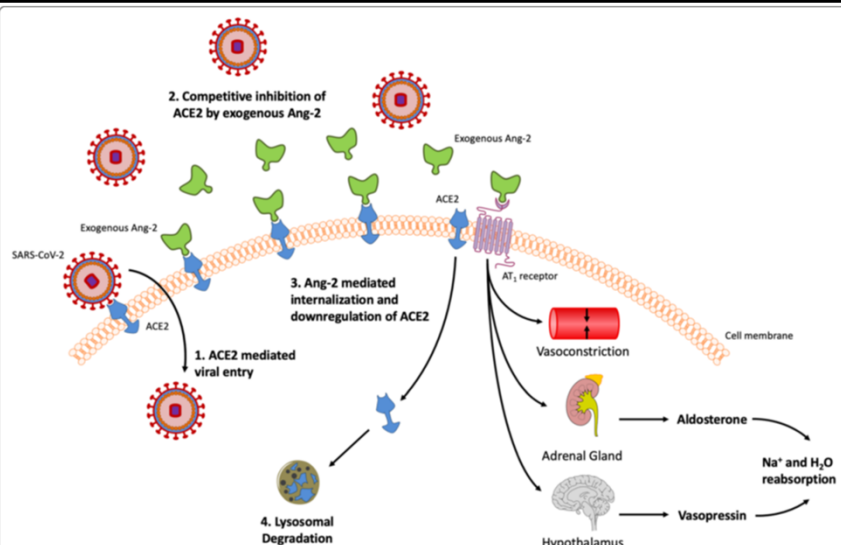
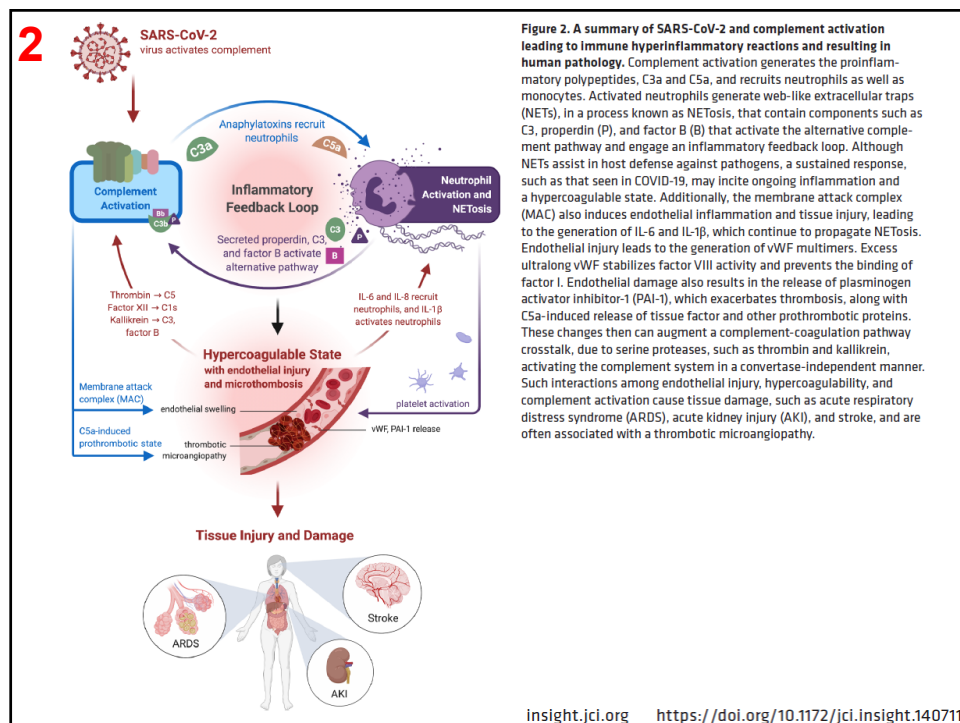
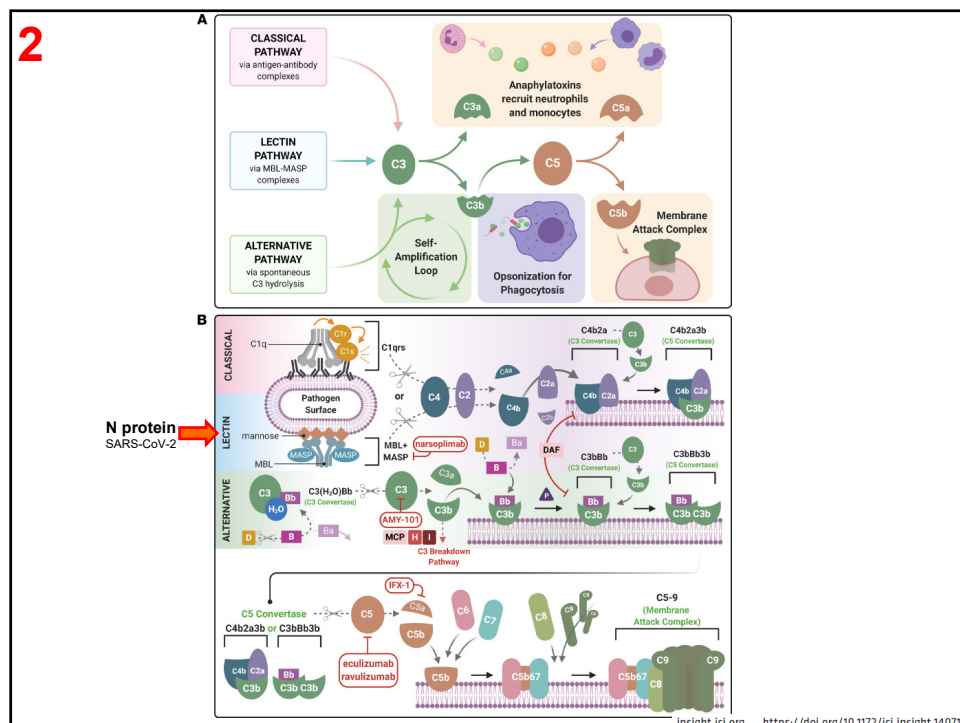
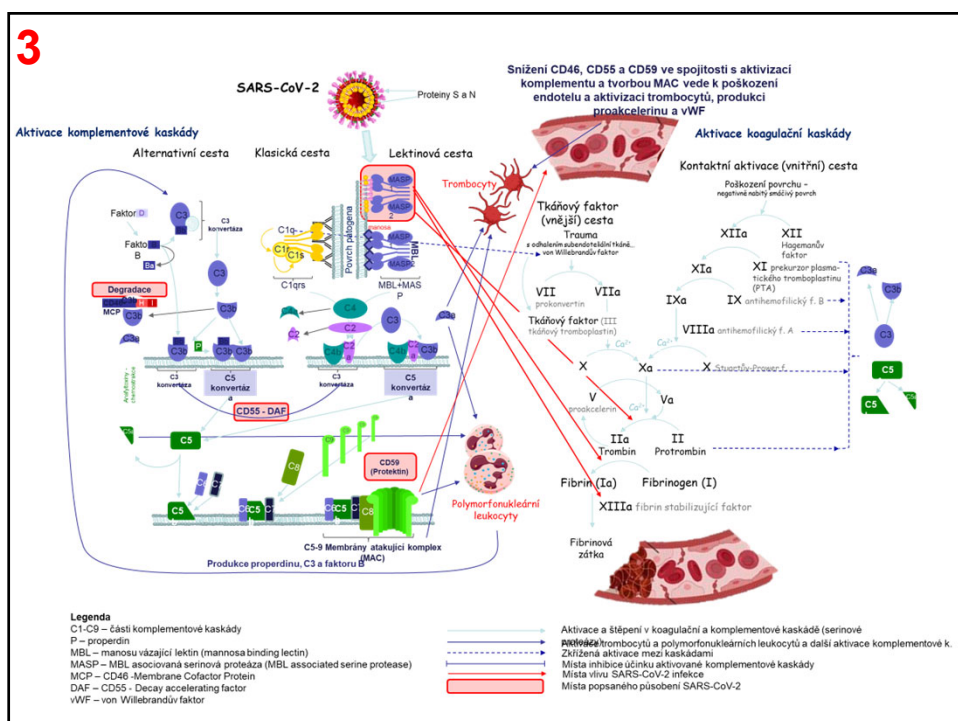
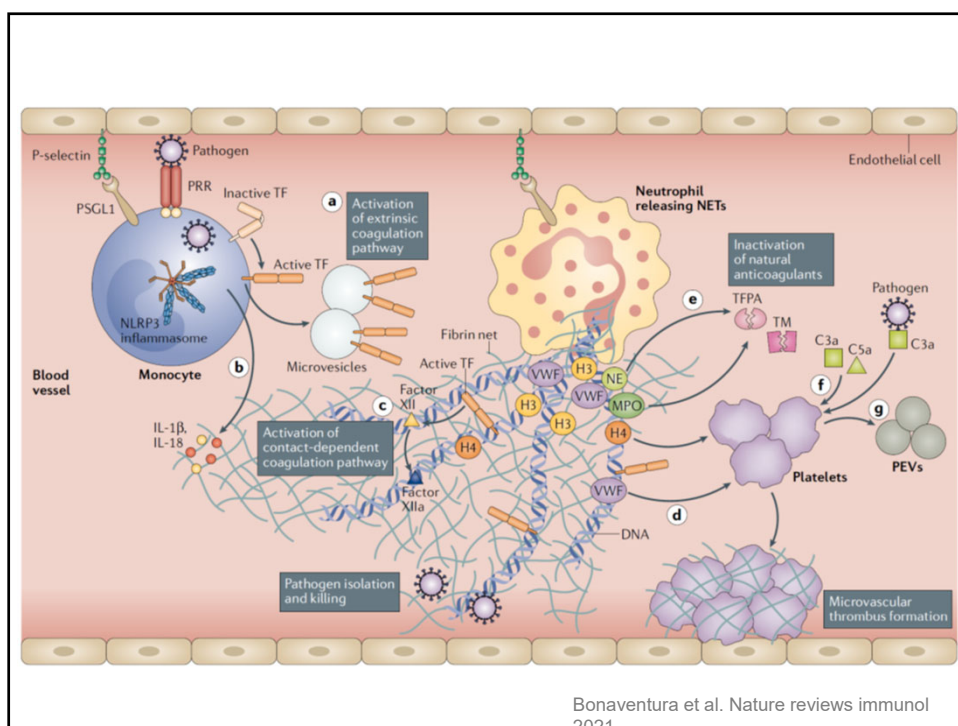


Fig. 1 Effect of angiotensin II on the RAAS and SARS-CoV-2 binding. Angiotensin I is hydrolyzed by ACE1 to form angiotensin II, which binds to AT₁ receptors. This causes release of aldosterone from the adrenal gland, vasopressin secretion from the hypothalamus, and vasoconstriction. Vasopressin and aldosterone both lead to increased sodium and free water reabsorption in the kidney, leading to increased mean arterial pressure (MAP). Angiotensin II is then metabolized into Ang-(1–7) by ACE2. SARS-CoV-2 binds to ACE2 to gain entry into the host cell. Exogenous angiotensin II can also bind to ACE2, which can lead to competitive inhibition of the ACE2 receptor. In addition, binding of angiotensin II to AT₁ receptors leads to internalization, downregulation, and degradation of ACE2. These actions may potentially prevent SARS-CoV2 from entering the cell. Figure created with Motifolio Toolkit. Ang-2, angiotensin II; SARS-CoV-2, severe acute respiratory syndrome coronavirus 2; ACE1, angiotensin-converting-enzyme 1; ACE2, angiotensin-converting-enzyme 2; H₂O, water; Na⁺, sodium

Busse et al. Critical Care 2020



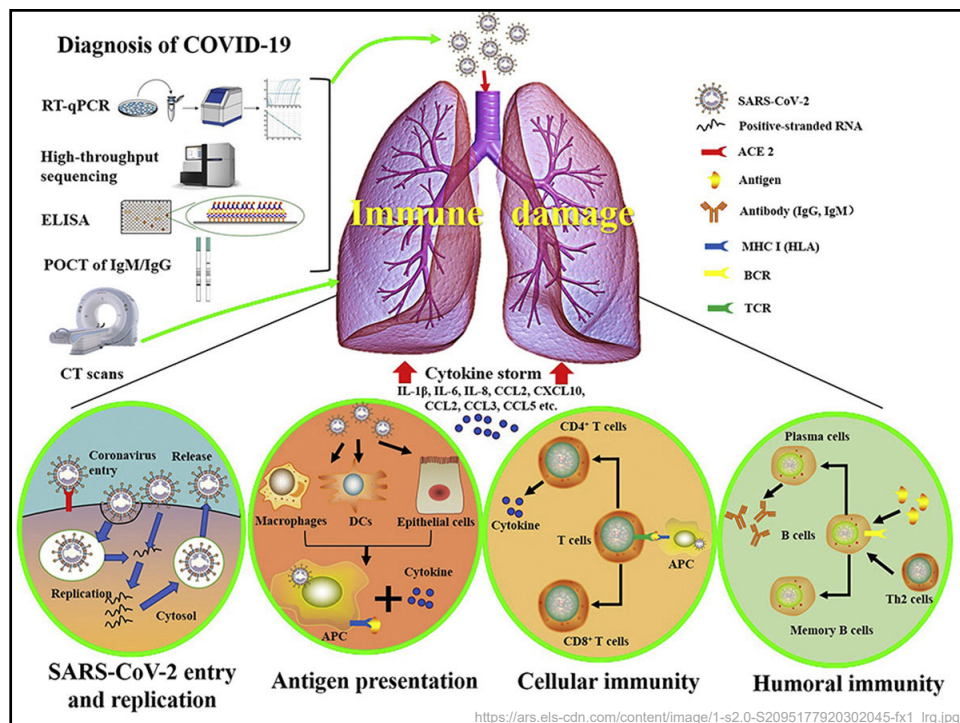
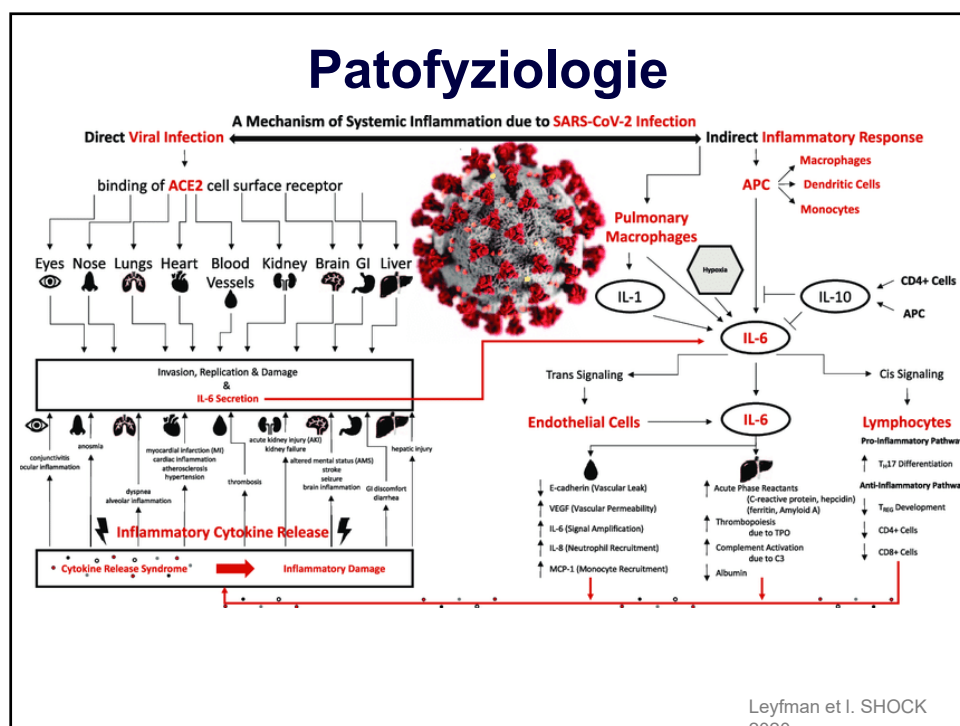


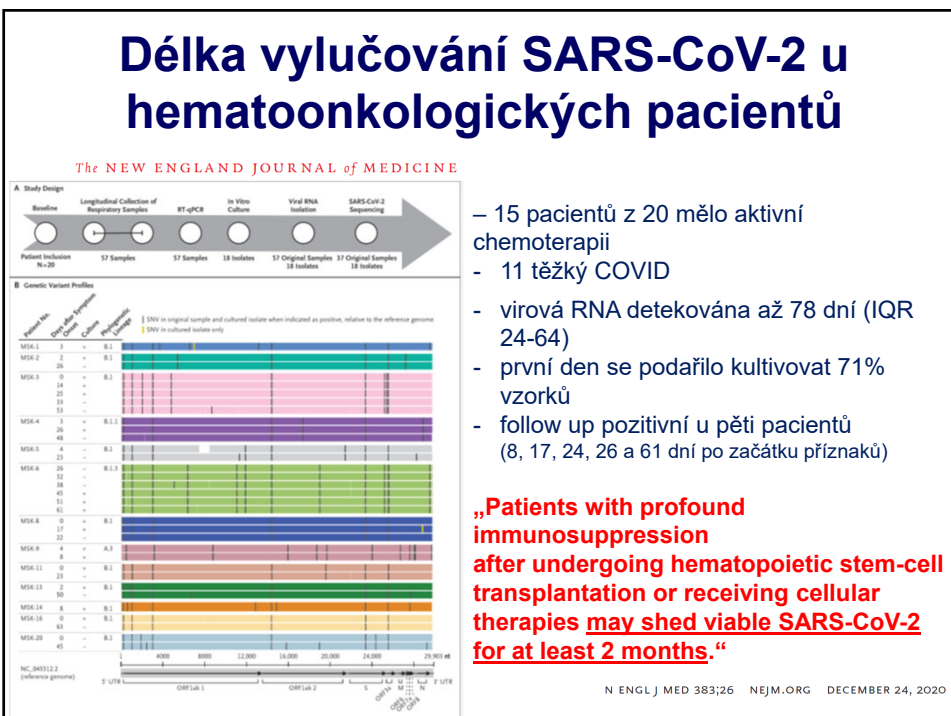
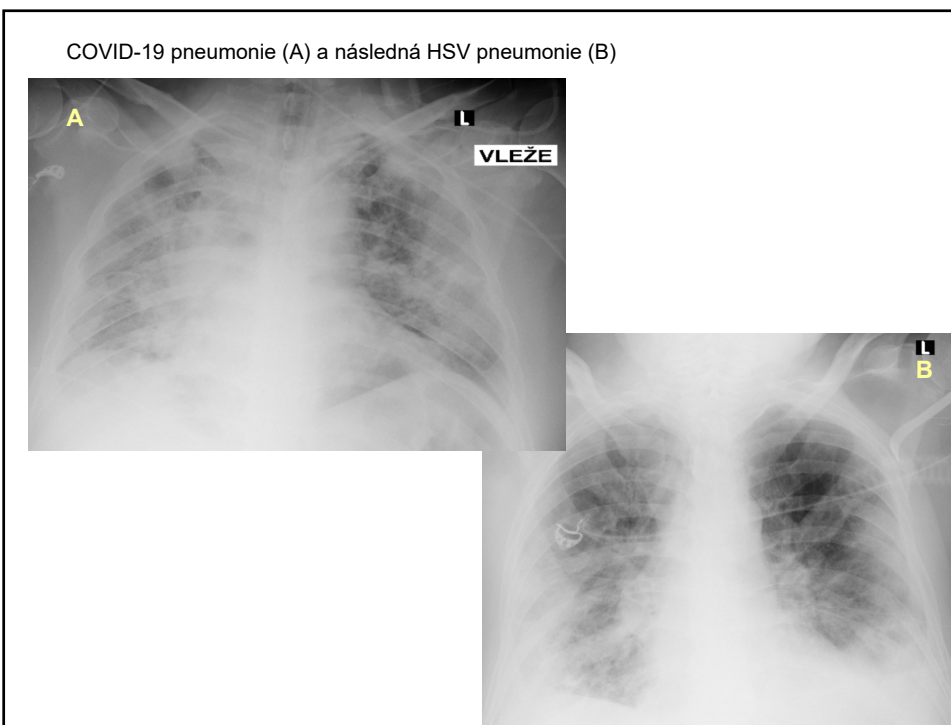
Patofyzioologie - shrnutí

- Poškození tkáně replikací viru
- Změna rovnováhy renin-angiotenzin-aldosteronového systému
- Aktivace komplementu
- Aktivace trombocytů
- Aktivace imunitní odpovědi – makrofágů, lymfocytů (cytokinů, cytokinová bouře)
- Poškození endotelu

Patofyzioologie - shrnutí

- Poškození tkáně replikací viru
 - Změna rovnováhy renin-angiotenzin-aldosteronového systému
 - Aktivace komplementu
 - Aktivace trombocytů
 - Aktivace imunitní odpovědi – makrofágů, lymfocytů (cytokinů, cytokinová bouře)
 - Poškození endotelu
- Hyperkoagulační stav** (prevence LMWH)
Superinfekce a reaktivace latentně přítomných



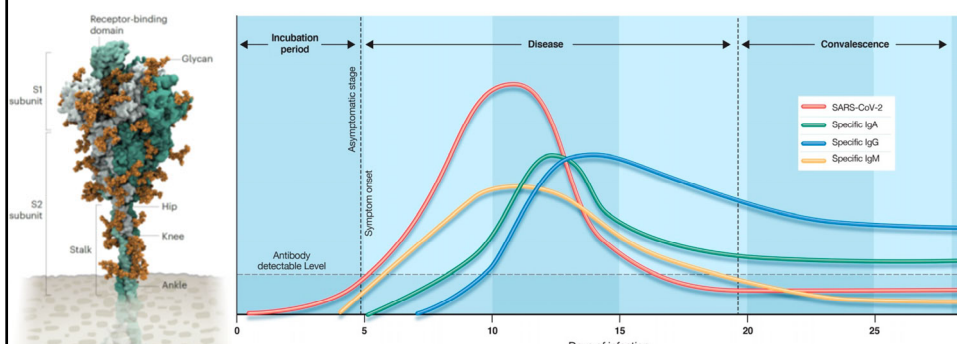


Délka vylučování respiračních virů

Virus	Délka vylučování u běžné populaci (případně děti/dospělý)	Délka vylučování u imunosuprimovaných pacientů
Influenza virus A	≤14 dní/ ≤5,5 dní	29,5 dne až 5 měsíců (!)
Influenza virus B	6-7 dní	7,5 dne (2,5-80,5)
Parainfluenza virus	PIV-1 a 2: 3-6 dní PIV-3: 8 dní (3-10 dní)	6-42 dní
RSV	± 4 dny (1-12)/	Medián 2-4 týdny 80 dní (35-334 dní)
hMPV	± 5 dní	7-24 dní
HRV/HEV	± 14 dní (HRV-C 7 dní) Dospělý déle než děti	Většina ≤4 týdnů 5 týdnů (1-49 týdnů)
Coronaviry (HKU-1, 229E, OC43, NL63, SARS-CoV-2)	3-18 dní, pár týdnů až 2 měsíce	4 týdny (1-22 týdnů), u SARS-CoV-2 až 3 měsíce

Talaat et al. JID 2013;208:1669-1678; Takeyama et al. Jmed Virol 2016, 88(6):938-946; Milano et al. Blood 2010, 115(10):2088-94; Lehnert et al. PLOS One. 2016, Feb. 2016; de Lima et al. Transpl Infect Dis 2014, 16(1):165-9; Gooskens et al. JID 2009, 199, 1435-1441; Pinsky et al. Emerg Infect Diseases 2010, 16(7):1165-1167; Chen et al. J Clin Virol 2015, 64:74-82; Dennis et al. CID 2016, 62(4):431-437; van der Hoek et al. FEMS Microbiol rev 30 (2006):760-773; Tasian et al. Pediatr Blood Cancer 2008, 50(5) 983-987; Choi et al. Blood 2011, 117(19):5050-5056; Fields. Virology 5th ed. 2007

Protilátková odpověď'



Protilátky proti S1
Protilátky proti RBD doméně

odpovídají virus neutralizačním protilátkám

Antibody Response - Seroconversion

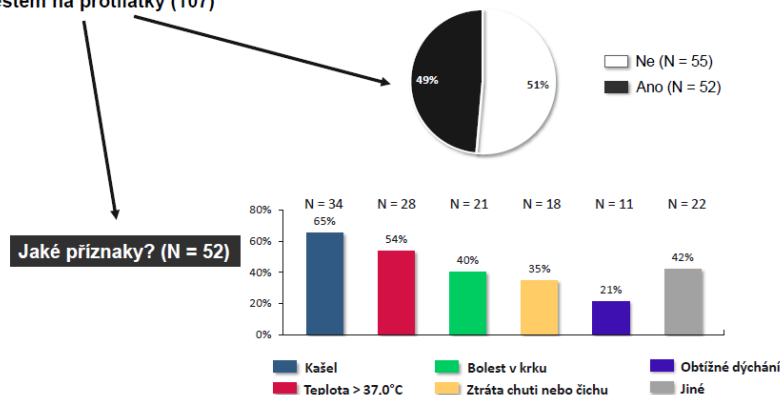
Antibodies appear in blood after: ≈10-20 days
Maintenance of antibody response:
≈2-3 years (measured for SARS-CoV-1)

Bar-On eLifescience 2020
<http://bit.ly/2WOeN64>
Scudellari Nature 2021; 595
https://www.mdpi.com/diagnostics/diagnostics-10-00453/article_deploy/html/images/diagnostics-10-00453-g004.png

SARS-CoV-2

Výskyt příznaků onemocnění dýchacích cest po 1. 1. 2020

Respondenti s pozitivním testem na protilátky (107)



Evropská unie
Evropský podílný fond
Operační program zaměstnanost

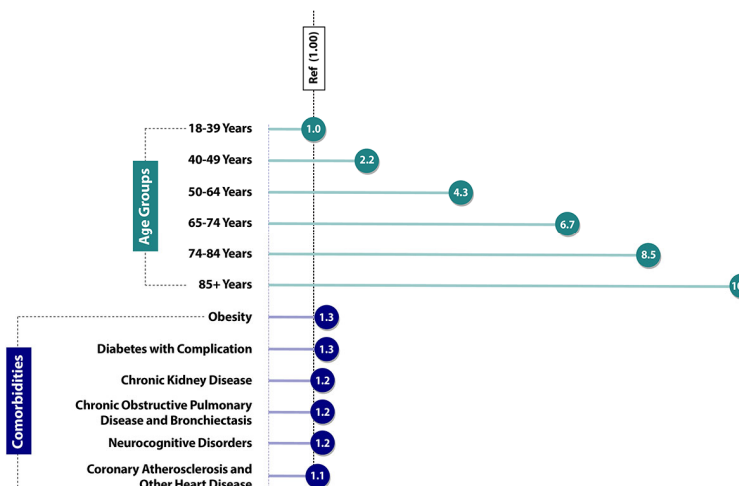
NSC NÁRODNÍ SCREENINGOVÉ CENTRUM



MINISTERSTVO ZDRAVOTNICTVÍ
ČESKÉ REPUBLIKY

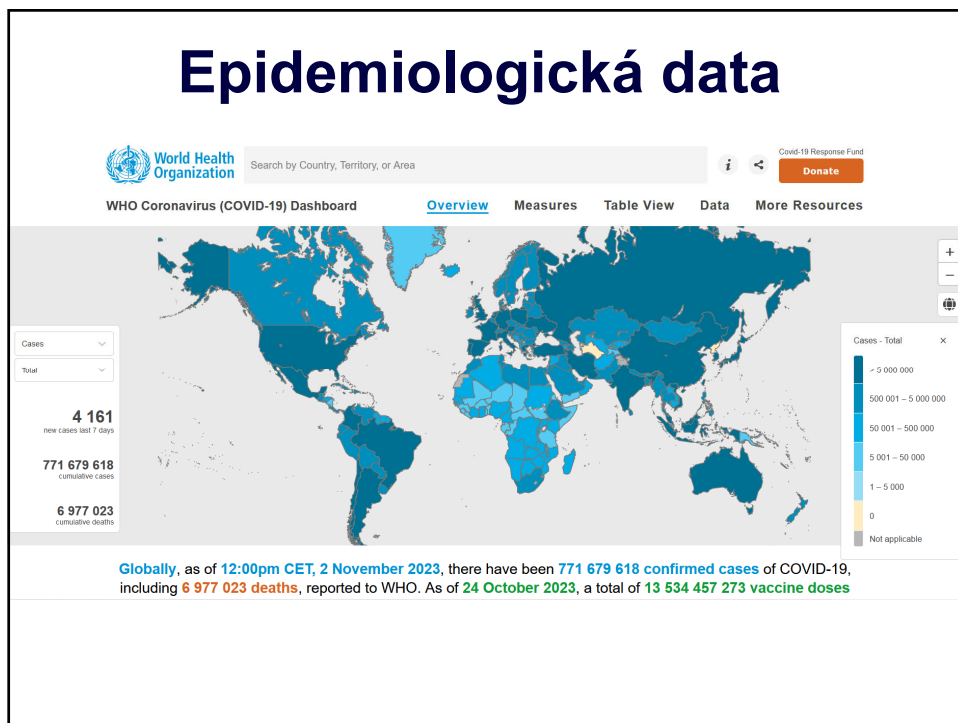
Rizikové skupiny

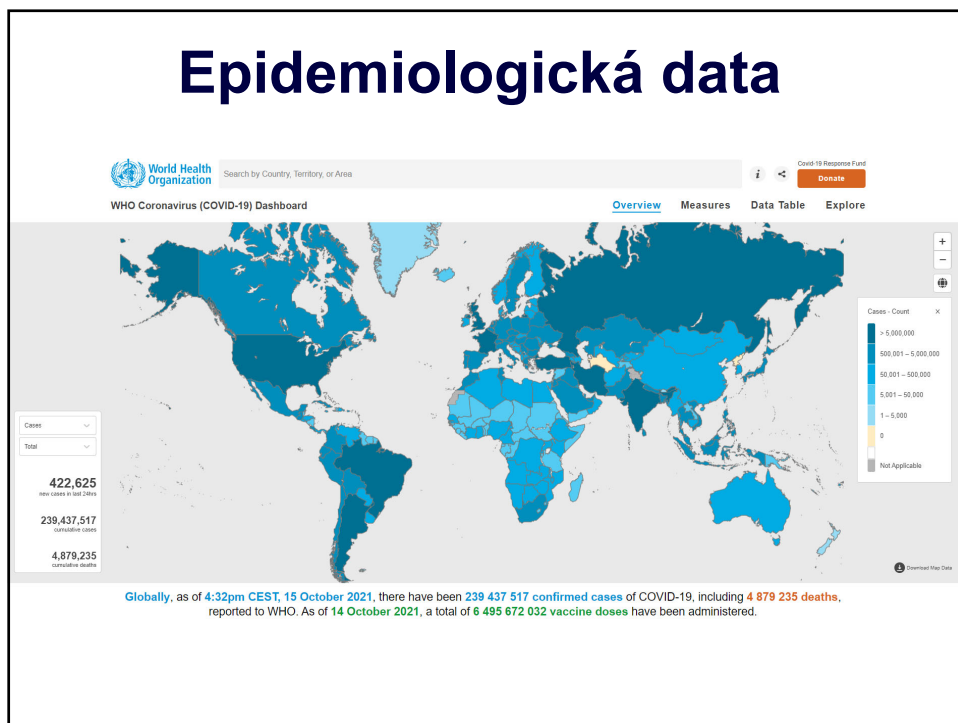
COVID-19 Death Risk Ratio (RR) for
Select Age Groups and Comorbid Conditions

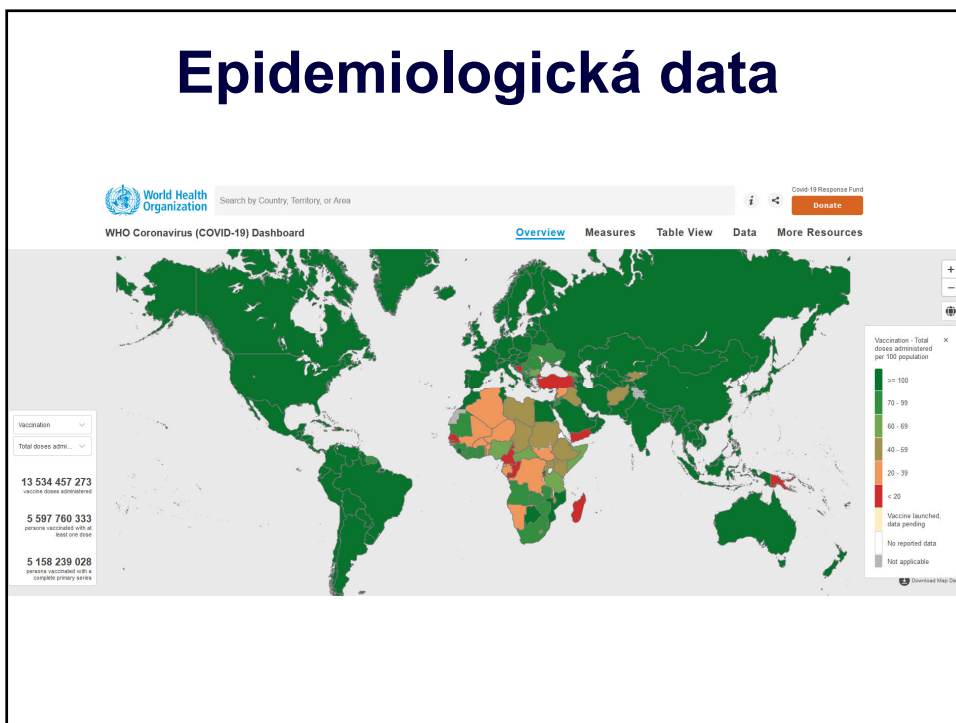


Underlying Medical Conditions Associated with Higher Risk for Severe COVID-19: Information for Healthcare Providers (cdc.gov)

Underlying Medical Conditions Associated with Higher Risk for Severe COVID-19: Information for Healthcare Providers (cdc.gov)







Epidemiologická data

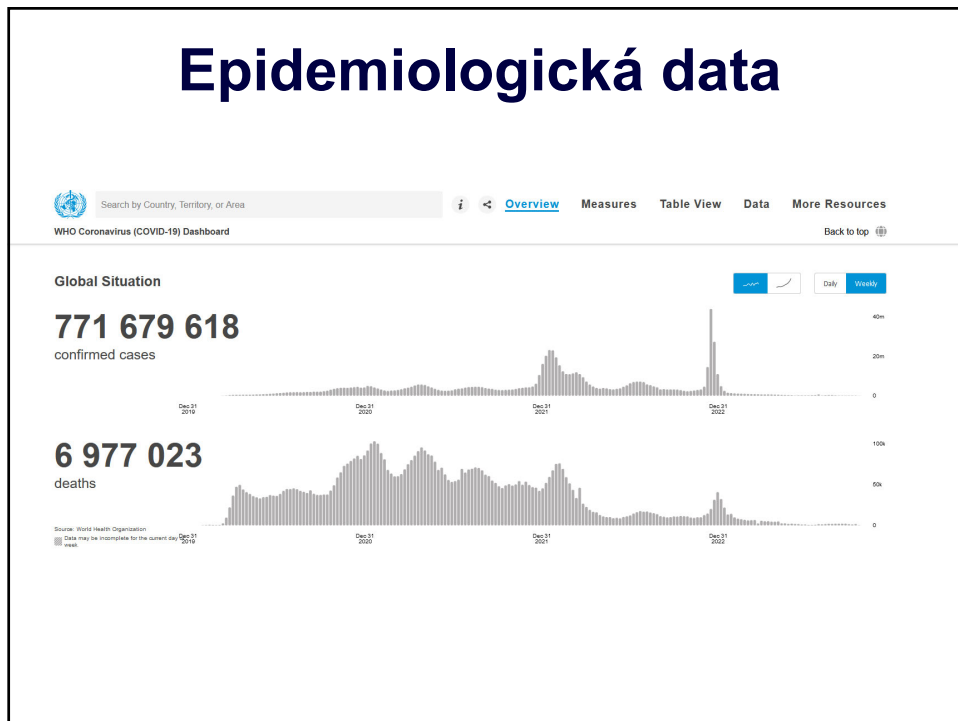
The figure displays the WHO Coronavirus (COVID-19) Dashboard table titled "Data Table". The table lists the top 15 countries by cumulative COVID-19 cases as of the latest update.

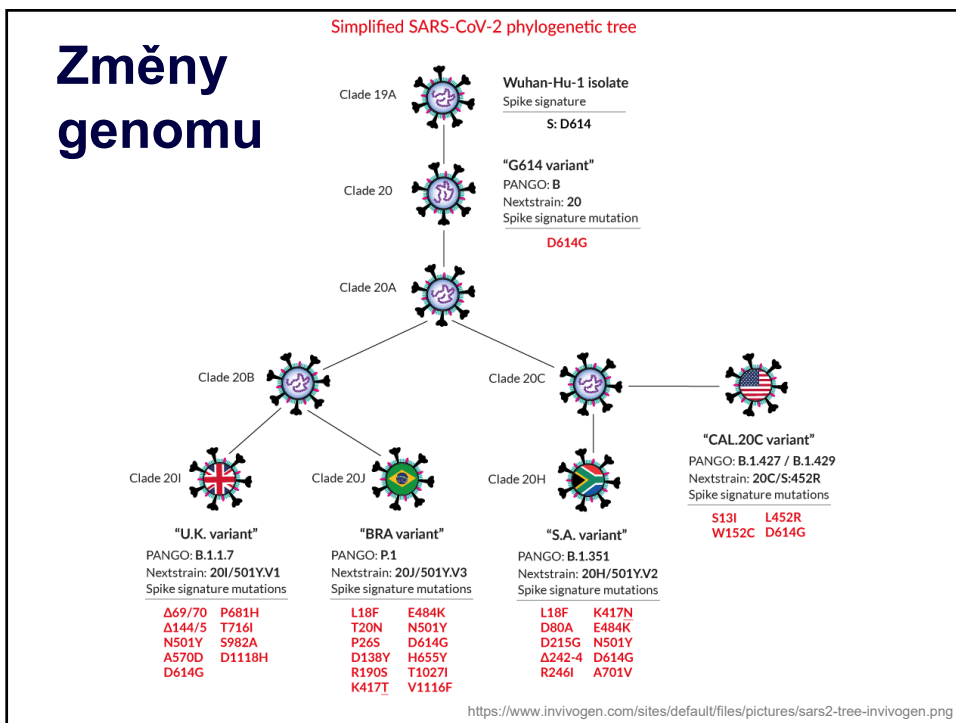
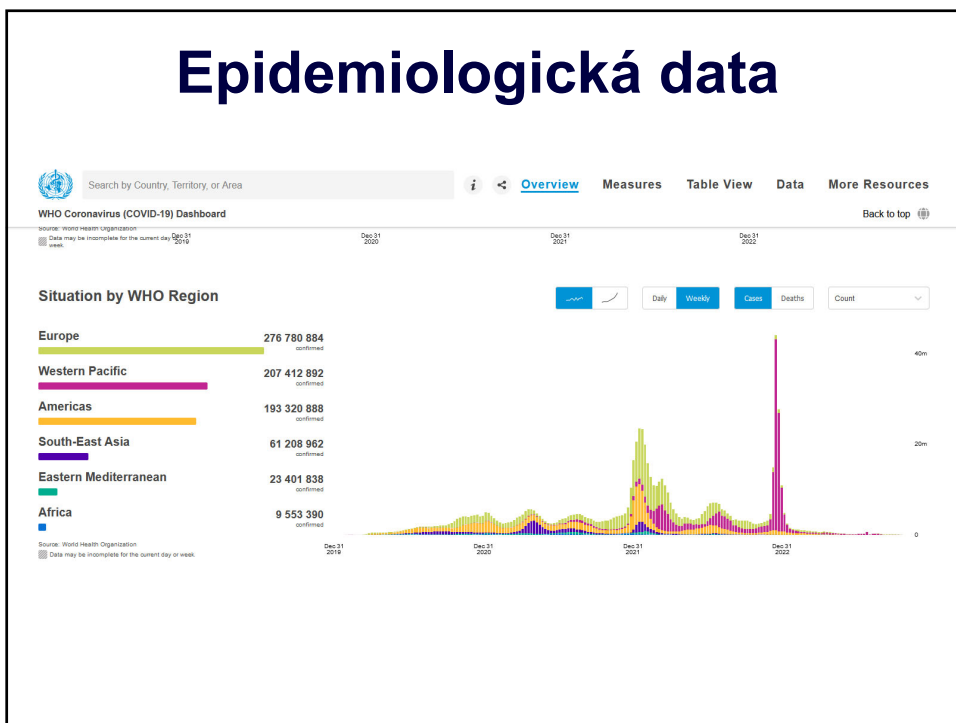
Name	Cases - cumulative total	Cases - newly reported in last 24 hours	Deaths - cumulative total	Deaths - newly reported in last 24 hours
Global	239 437 517	422 625	4 879 235	7 300
Japan	125,8 mil	1 713 268	18 051	1,05%
Czechia	10,7 mil	1 705 971	30 528	1,78%
Canada	38,01 mil	1 670 234	28 367	1,70%
Chile	19,12 mil	1 665 916	37 583	2,25%
Bangladesh	164,7 mil	1 564 485	27 737	1,78%
Romania	19,29 mil	1 430 475	41 130	2,88%
Israel	9,217 mil	1 313 211	7 974	0,61%
Belgium	1 276 221	1	25 732	0
Pakistan	1 261 685	1 016	28 201	28
Sweden	1 181 264	799	14 926	0
Portugal	1 077 963	777	18 071	6
Serbia	1 031 283	6 786	8 946	54

Epidemiologická data

Situation by Region, Country, Territory & Area

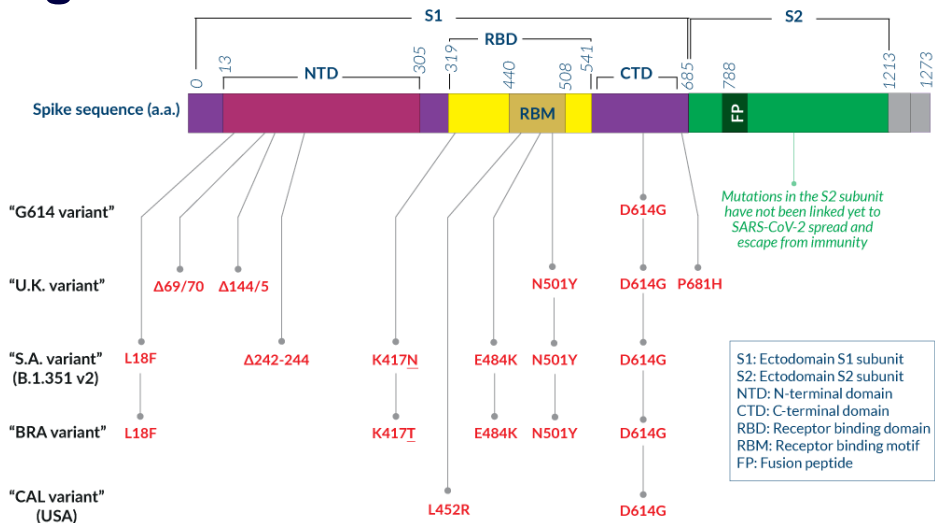
Name	Cases - cumulative total ≡↓	Cases - newly reported in last 7 days	Deaths - cumulative total	Deaths - newly reported in last 7 days	Vaccines - Total doses administered per 100 population	Vaccines - Persons vaccinated with a complete primary series per 100 population	Vaccines - Persons vaccinated with at least one booster or additional dose 100 population
Global	771,679,618	4,161	6,977,023	63	173,64	66,18	31,91
Malaysia	33,57 mil	5 131 899 ↓	15,29% 37 202	0,72%	224,96	85,11	50,49
Israel	9,217 mil	4 840 714 ↓	52,51% 12 697	0,26%	207	71,75	50,27
Belgium	11,59 mil	4 817 196 ↓	41,56% 34 339	0,71%	252,7	78,84	62,37
Thailand	71,6 mil	4 758 125 ↓	6,65% 34 487	0,72%	199,63	77,64	39,37
Canada	38,01 mil	4 716 205 ↓	12,41% 53 297	0,13%	258,59	82,96	52,4
Czechia	10,51 mil	4 665 557 ↓	44,39% 42 917	0,09%	174,1	65,5	41,52
Peru	33,72 mil	4 522 474 ↓	13,41% 221 727	4,90%	271,73	86,91	67,16



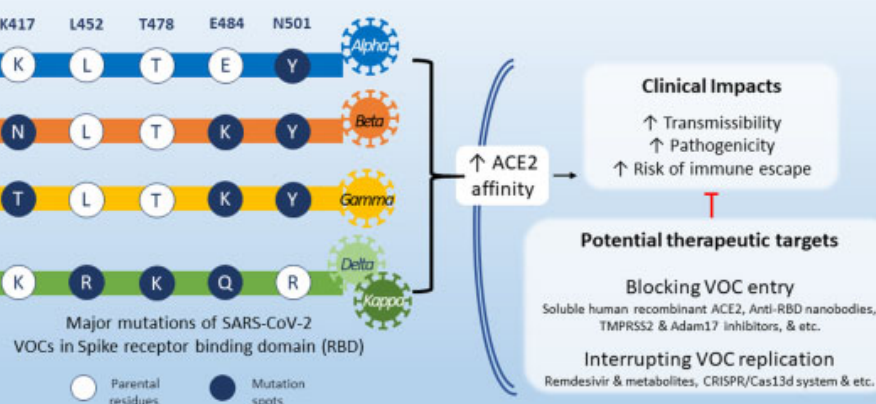


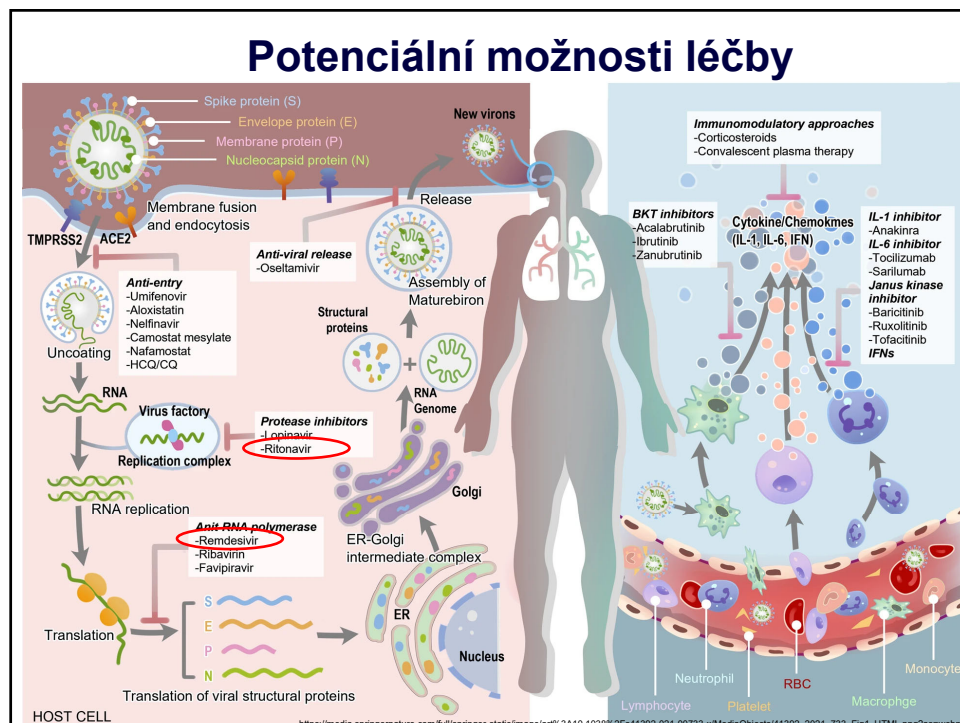
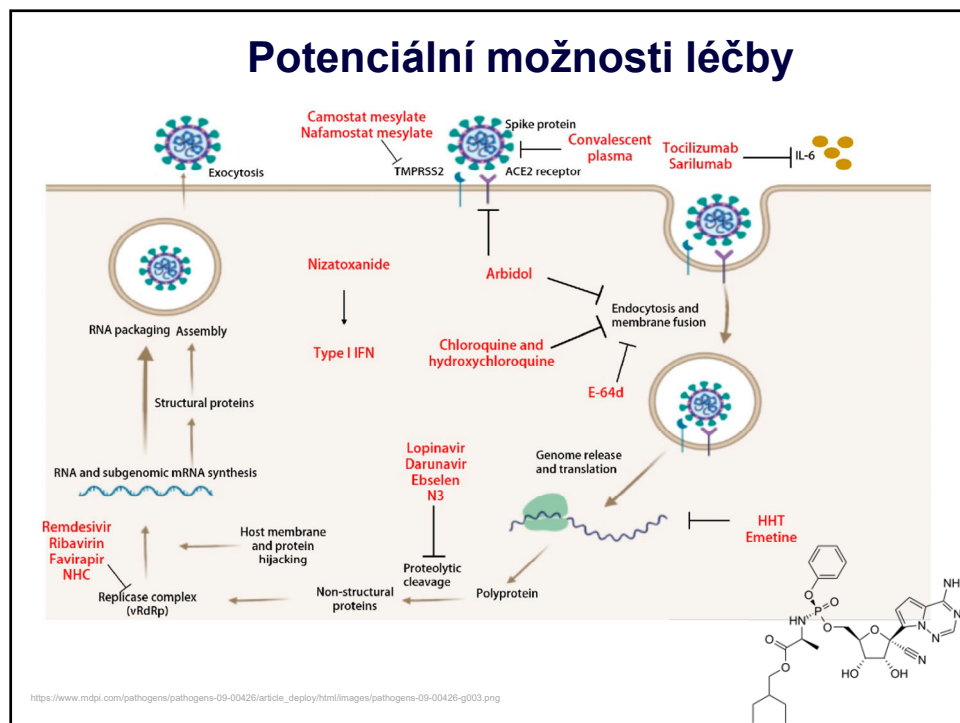
Změny genomu

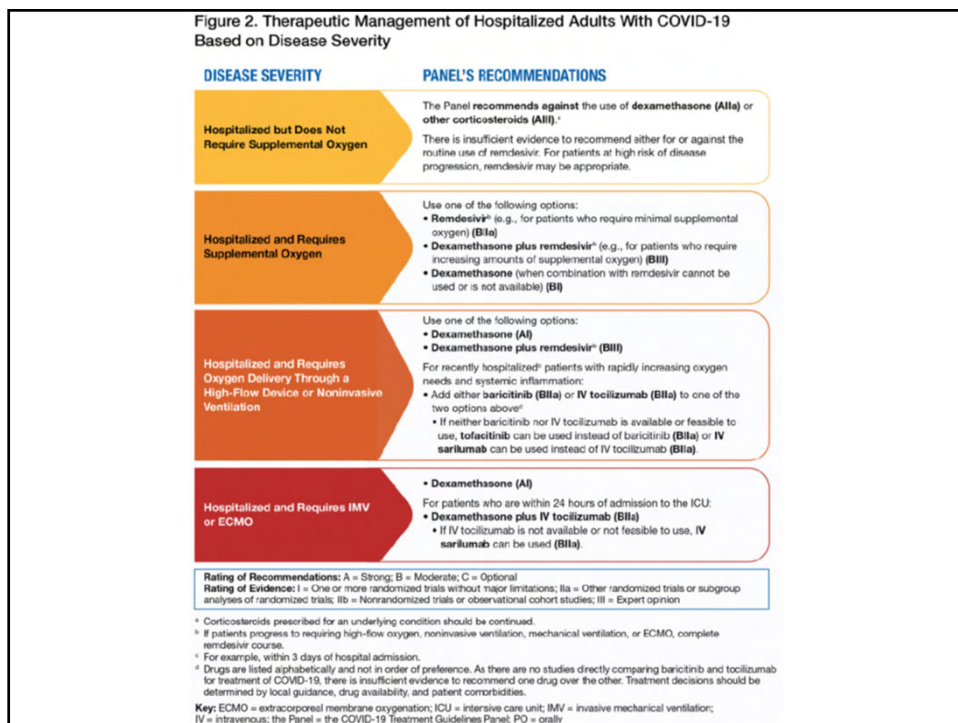
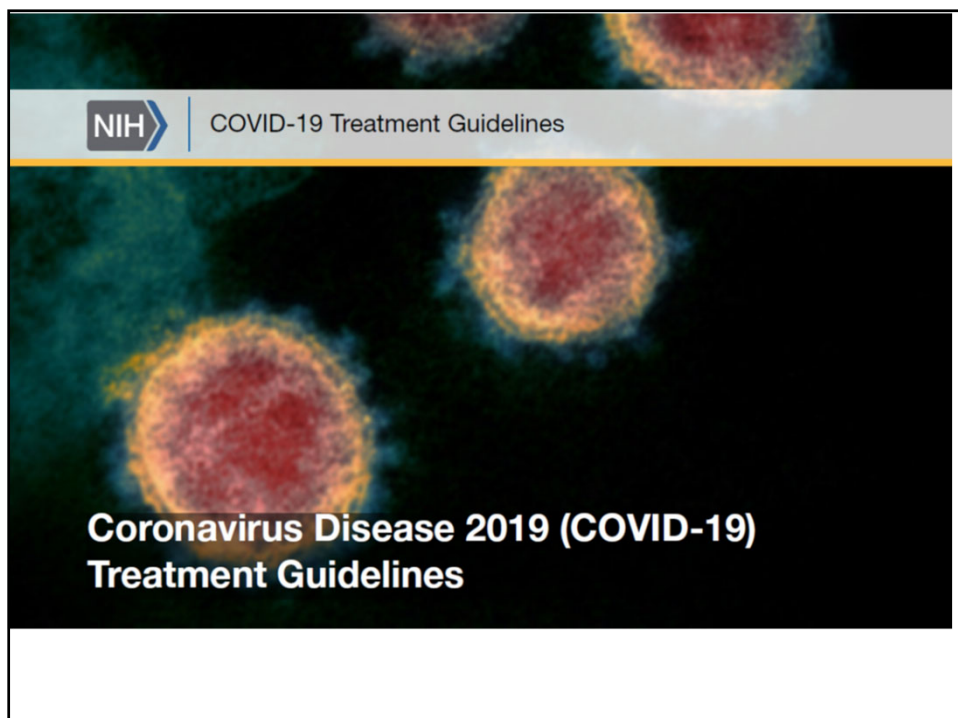
Spike mutations of concern in SARS-CoV-2 variants

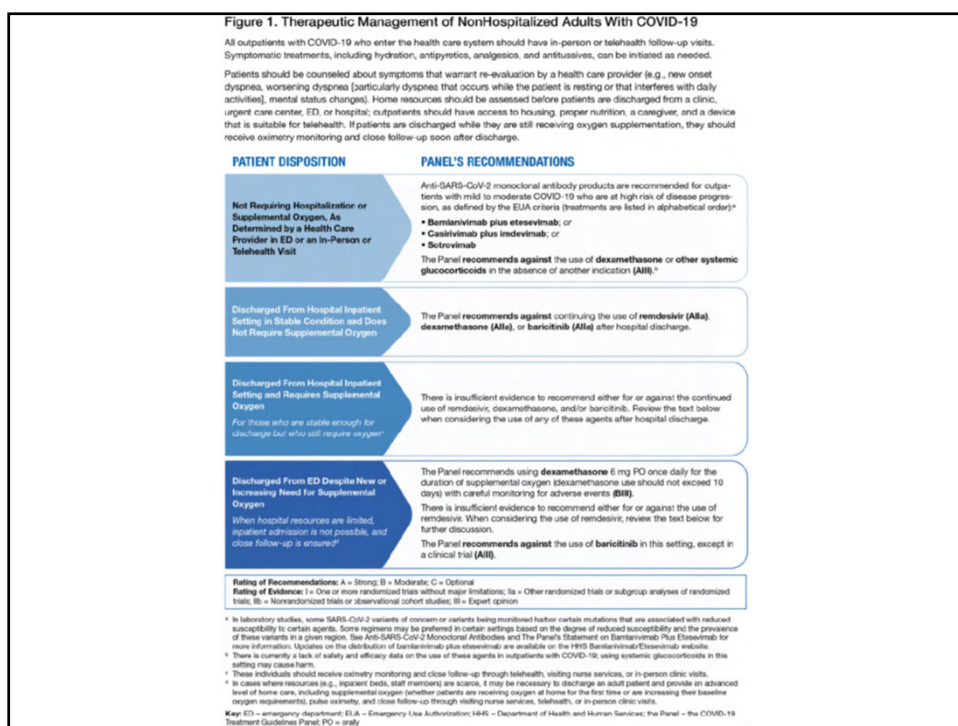


Změny genomu









Antiviral Drugs That Are Approved or Under Evaluation for the Treatment of COVID-19

Last Updated: July 8, 2021

Summary Recommendations	
<p>Remdesivir is the only Food and Drug Administration-approved drug for the treatment of COVID-19. In this section, the COVID-19 Treatment Guidelines Panel (the Panel) provides recommendations for using antiviral drugs to treat COVID-19 based on the available data. As in the management of any disease, treatment decisions ultimately reside with the patient and their health care provider. For more information on these antiviral agents, see Table 2e.</p>	
Remdesivir	<ul style="list-style-type: none"> • See Therapeutic Management of Hospitalized Adults with COVID-19 for recommendations on using remdesivir with or without dexamethasone.
Nitazoxanide	<ul style="list-style-type: none"> • The Panel recommends against the use of nitazoxanide for the treatment of COVID-19, except in a clinical trial (BIIa).
Hydroxychloroquine or Chloroquine and/or Azithromycin	<ul style="list-style-type: none"> • The Panel recommends against the use of chloroquine or hydroxychloroquine and/or azithromycin for the treatment of COVID-19 in hospitalized patients (AI) and in nonhospitalized patients (AIa).
Lopinavir/Ritonavir and Other HIV Protease Inhibitors	<ul style="list-style-type: none"> • The Panel recommends against the use of lopinavir/ritonavir and other HIV protease inhibitors for the treatment of COVID-19 in hospitalized patients (AI) and in nonhospitalized patients (AIa).
Rating of Recommendations: A = Strong; B = Moderate; C = Optional	
Rating of Evidence: I = One or more randomized trials without major limitations; IIa = Other randomized trials or subgroup analyses of randomized trials; IIb = Nonrandomized trials or observational cohort studies; III = Expert opinion	

The Possible Role of Vitamin D in Suppressing Cytokine Storm and Associated Mortality in COVID-19 Patients

Ali Daneshkhah¹, Vasundhara Agrawal¹, Adam Eshein¹, Hariharan Subramanian¹, Hemant K. Roy², and Vadim Backman^{1*}

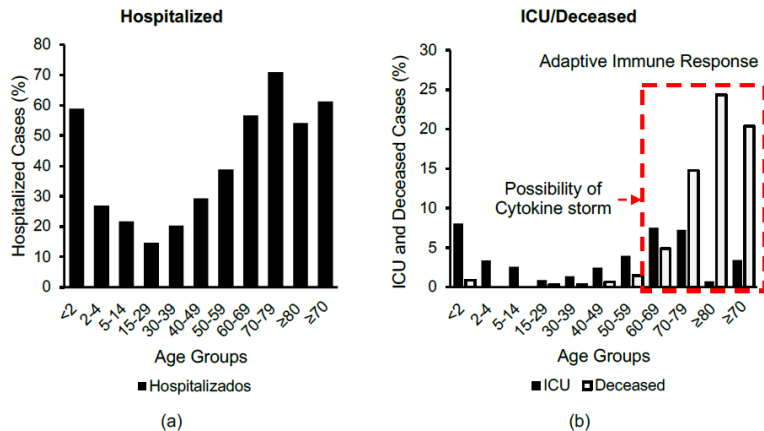


Figure 7 Age distribution of the a) hospitalized, b) admitted to ICU or deceased in Spain based on data from 145,429 cases[26].

The Possible Role of Vitamin D in Suppressing Cytokine Storm and Associated Mortality in COVID-19 Patients

Ali Daneshkhah¹, Vasundhara Agrawal¹, Adam Eshein¹, Hariharan Subramanian¹, Hemant K. Roy², and Vadim Backman^{1*}

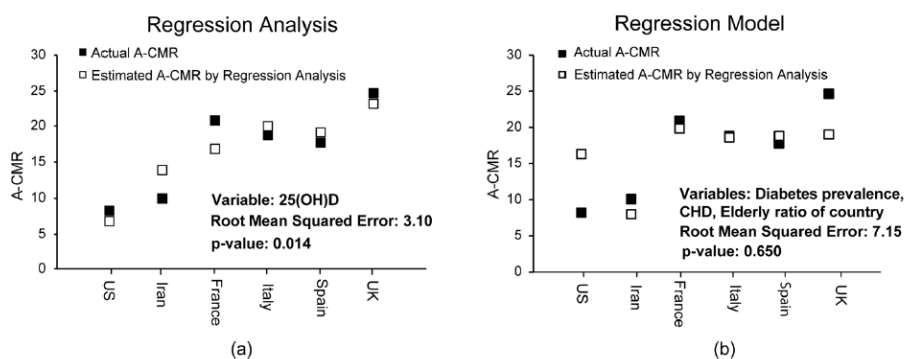
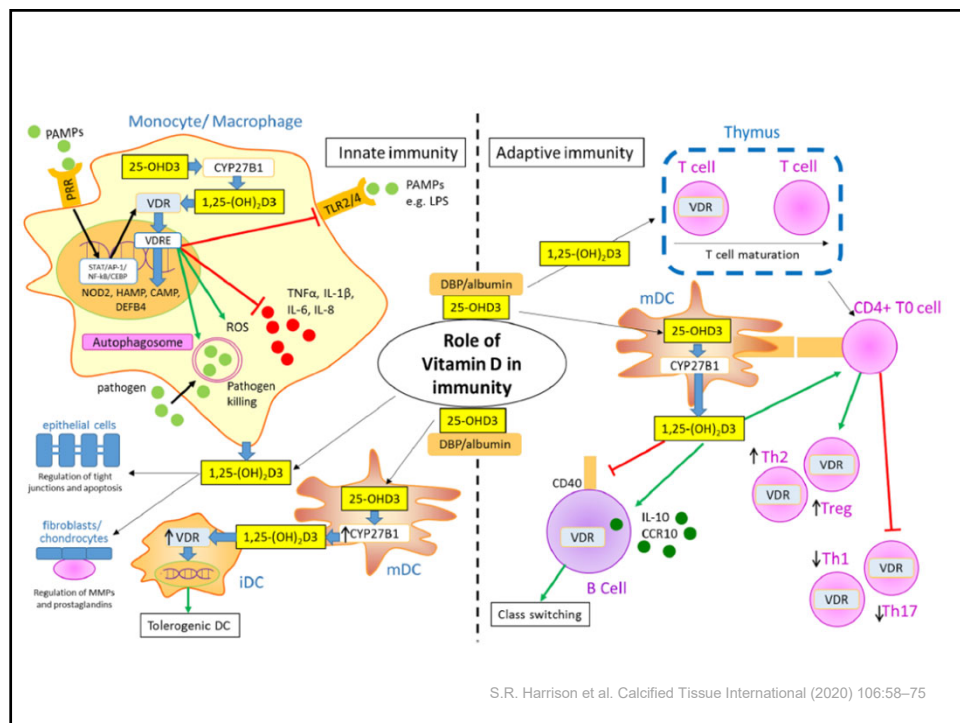
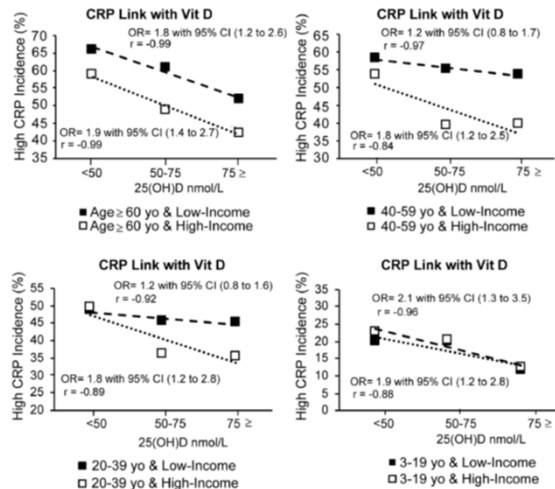


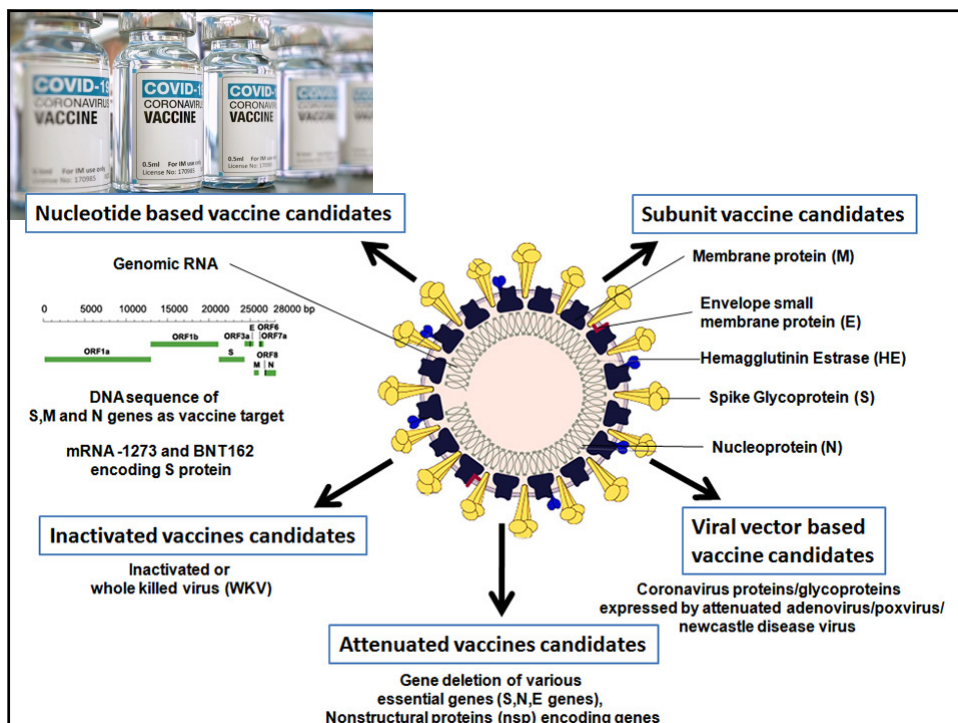
Figure 6 Regression analysis based on (a) 25(OH)D, (b) Diabetes prevalence among men and women (age standardized), elderly ratio (≥ 70 yo) in the country, CHD death rate per 100,000 (age standardized)

The Possible Role of Vitamin D in Suppressing Cytokine Storm and Associated Mortality in COVID-19 Patients

Ali Daneshkhah¹, Vasundhara Agrawal¹, Adam Eshein¹, Hariharan Subramanian¹, Hemant K. Roy², and Vadim Backman^{1*}



S.R. Harrison et al. Calcified Tissue International (2020) 106:58–75



Společnost	Typ vakciny	Počet dávek, očkovací schéma, skladování*	Aplikační objem vakciny*	Stav: Klinická fáze vývoje	Plánované podání žádosti pro povolení v rámci EU
Astra Zeneca (Oxford)	Rekombinantní, vektorová (adenovirus ChAdOx1)	2 dávky (0-28 dní) 2-8°C	1 dávka à 0,5 ml i.m., 10 dávek v lahvičce	Fáze I/II: UK Fáze III: UK, Brazílie, Jižní Afrika, Indie, USA	Průběžné posouzení zahájeno v říjnu 2020
Pfizer (BioNTech)	Genová, mRNA, obalená lipidovými nanočásticemi	2 dávky (0-21 dní) -70°C	1 dávka à 0,3 ml i.m., 5 dávek v lahvičce	Fáze I/II: SRN, USA, Fáze III: USA, Brazílie, Argentina, Turecko, SRN	Průběžné posouzení, předložení žádosti o podmínečnou registraci 30.11.2020
Johnson & Johnson (Jansen)	Vektorová (adenovirus Ad26)	1 dávka	1 dávka à 0,5 ml i.m., 10 dávek v lahvičce	Fáze I/II: Belgie, USA Fáze II: SRN Fáze III: svět	Začátek průběžné kontroly v prosinci 2020
Sanofi Pasteur (GSK)	Rekombinantní, adjuvovaná	2 dávky (0-28 dní) -70°C	1 dávka à 0,5 ml i.m.	Fáze I/II: USA Fáze III: USA	2021
Moderna (Lonza)	Genová, mRNA, obalená lipidovými nanočásticemi	2 dávky (0-28 dní)	1 dávka à 0,5 ml i.m.	Fáze III: USA	Začátek průběžného posouzení, předložení žádosti o předběžnou registraci 30.11.2020
Novavax	Rekombinantní, adjuvovaná	2 dávky (0-21 dní)	1 dávka à 0,5 ml i.m.	Fáze I: Austrálie Fáze II: USA, Austrálie	Počátek roku 2021
CureVac	Genová, mRNA, obalená lipidovými nanočásticemi	2 dávky (0-28 dní)	1 dávka 0,6 ml, i.m.	Fáze I: Belgie, SRN Fáze II: Peru, Panama	Není známo

*Poznámka: Nedbalené informace odvozované současném znalostem

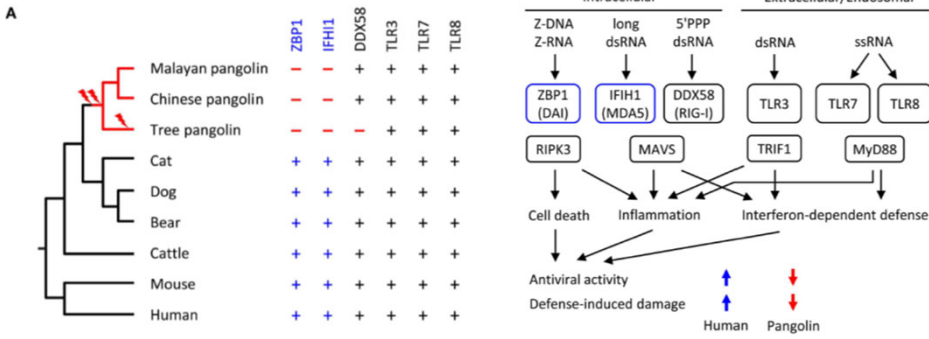
Pangolins Lack IFIH1/MDA5, a Cytoplasmic RNA Sensor That Initiates Innate Immune Defense Upon Coronavirus Infection

ORIGINAL RESEARCH
published: 08 May 2020
doi: 10.3389/fimmu.2020.00939



Heinz Fischer¹, Erwin Tschachler² and Leopold Eckhart^{2*}

FIGURE 3 | Evolution of RNA sensor genes and possible implications on antiviral responses in pangolins. **(A)** Phylogenetic tree of mammals and comparison of presence (+) or absence (-) of RNA sensor genes. Evolutionary relationships were generated by neighbor joining based on the nucleotide distribution of the genes. Species: Malayan pangolin (*Manis javanica*), Chinese pangolin (*Manis pentadactyla*), tree pangolin (*Manis tricuspidata*), cat (*Felis catus*), dog (*Canis lupus familiaris*), bear (*Ursus arctos horribilis*), cattle (*Bos taurus*), mouse (*Mus musculus*), human (*Homo sapiens*). **(B)** Schematic overview of innate immune sensors of viral RNA and signaling in mammals. Only RNA sensors investigated in this study are shown. The schematic includes the hypothesis about IFIH1 and ZBP1-dependent differences in the antiviral activity and defense-induced damage to the host. The directions of the colored arrows indicate the effects of the presence or absence of RNA sensors: blue arrow, triphosphorylated at the 5'-end; ds, double-stranded; ss, single-stranded.



Article

Proteomics of SARS-CoV-2-infected host cells reveals therapy targets

<https://doi.org/10.1038/s41586-020-2332-7>

Denisa Bojkova¹⁷, Kevin Klamp²⁷, Benjamin Koch²⁷, Marek Widera¹, David Krause², Sandra Ciesek¹⁴, Jindrich Cinatl¹ & Christian Münch^{1,5,6}

Received: 27 February 2020

Accepted: 6 May 2020

Published online: 14 May 2020

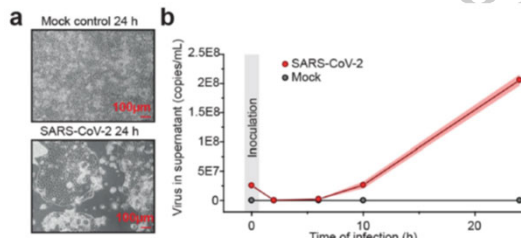


Fig. 1 | SARS-CoV-2 replication model in human cells. **a**, Caco-2 cells were either mock or SARS-CoV-2-infected and cultured for 24 h. Microscopy pictures were taken to demonstrate cytopathic effect. Scale bars indicate 100 μ m. Representative pictures from three independent biological replicates are shown. **b**, Quantitative PCR analysis of viral genome copies per mL cell culture after indicated infection time points ($n = 3$ independent biological samples). Points indicate mean of replicate measurements and shades represent s.d.

Article

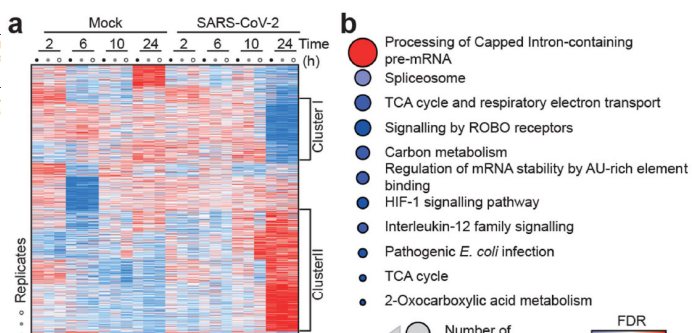
Proteomics of SARS-CoV-2-infected host cells reveals therapy targets

<https://doi.org/10.1038/s41586-020-2332-7>

Received: 27 February 2020

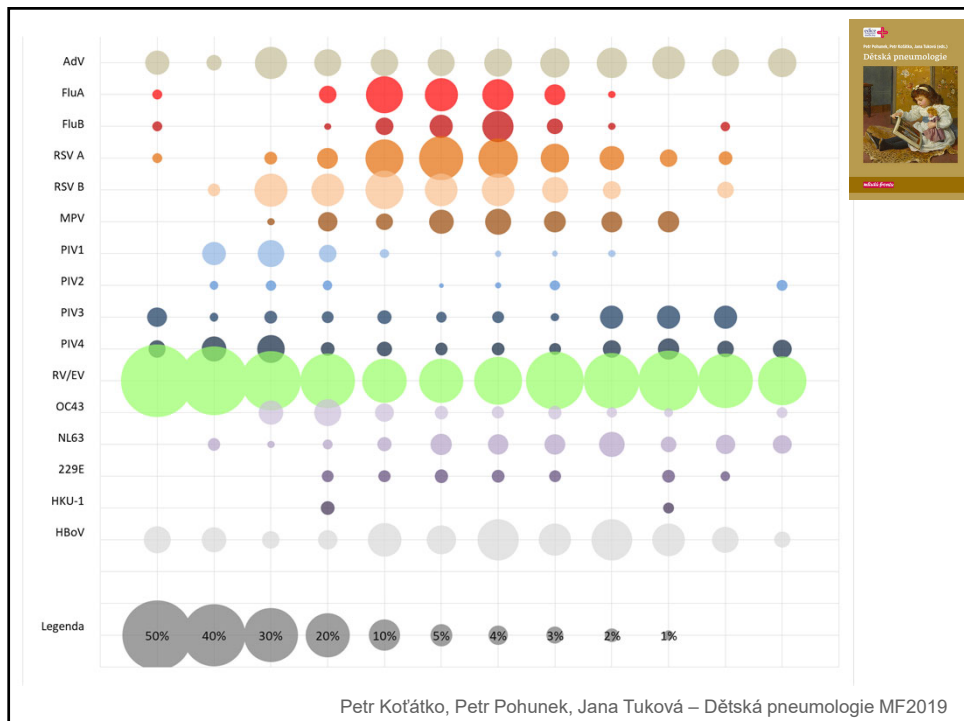
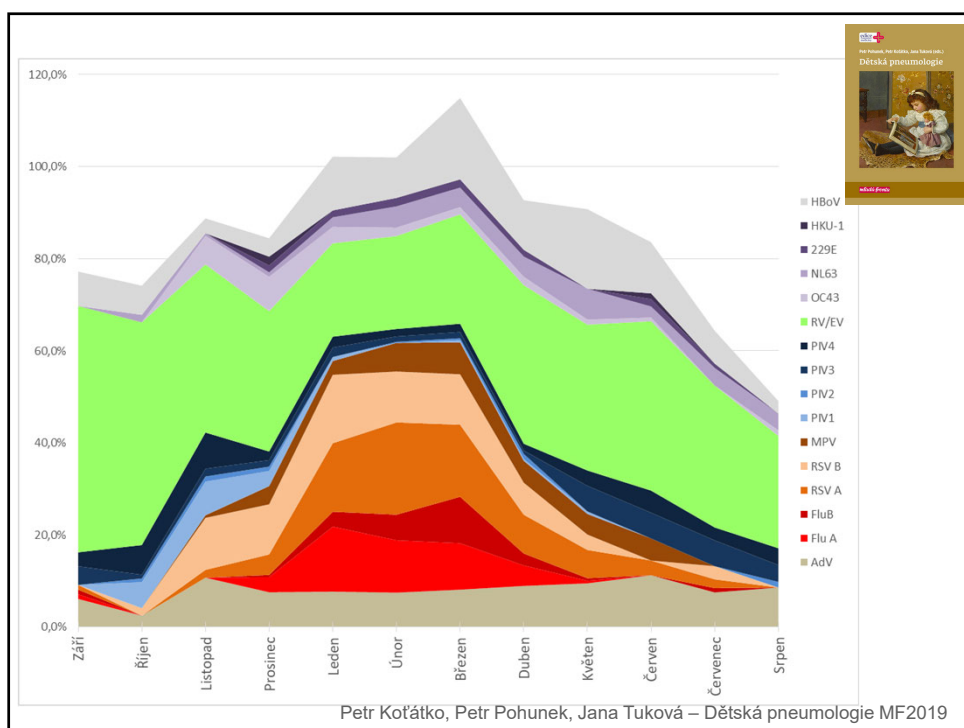
Accepted: 6 May 2020

Published online: 14 May 2020



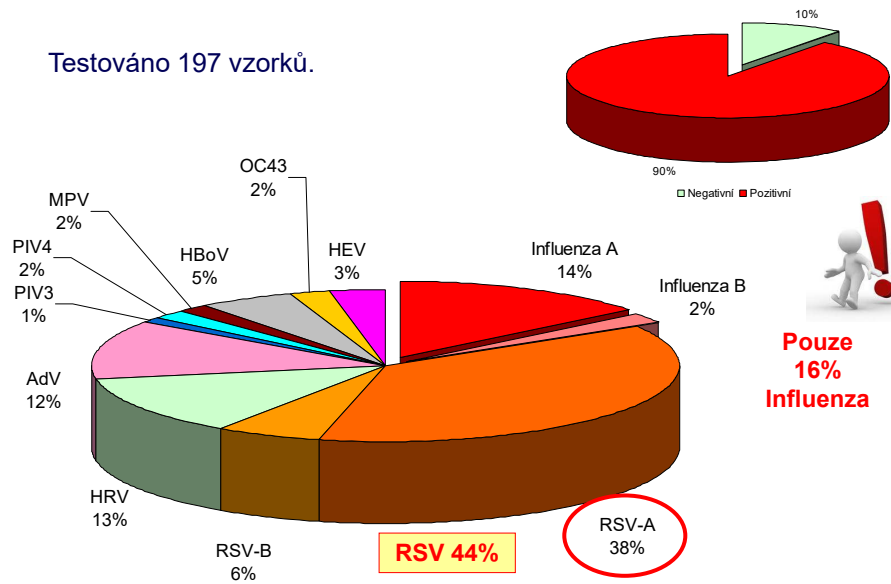
These analyses revealed that SARS-CoV-2 reshapes central cellular pathways, such as translation, splicing, carbon metabolism and nucleic acid metabolism. Small molecule inhibitors targeting these pathways prevented viral replication in cells. Our results reveal the cellular infection profile of SARS-CoV-2 and led to the identification of drugs inhibiting viral replication. We anticipate our results to guide efforts to understand the molecular mechanisms underlying host cell modulation upon SARS-CoV-2 infection. Furthermore, our findings provide insight for the development of the therapy options for COVID-19.





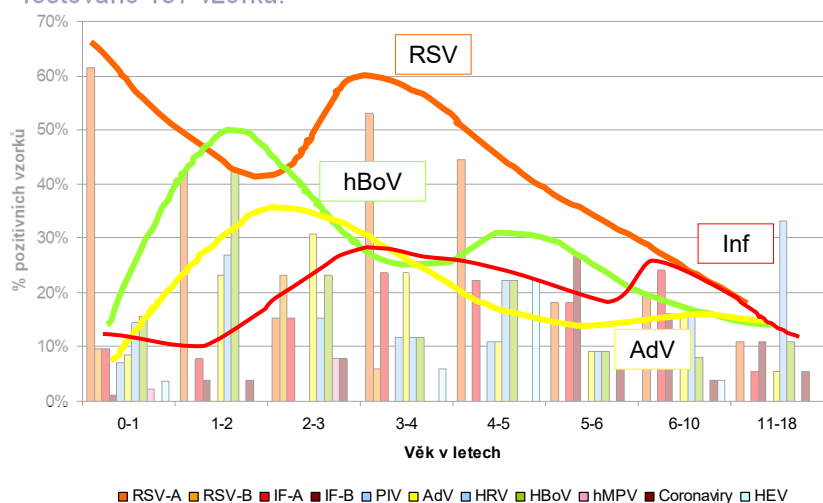
Výskyt respiračních virů u pacientů Pediatrické kliniky FN Motol (PCR)

Testováno 197 vzorků.



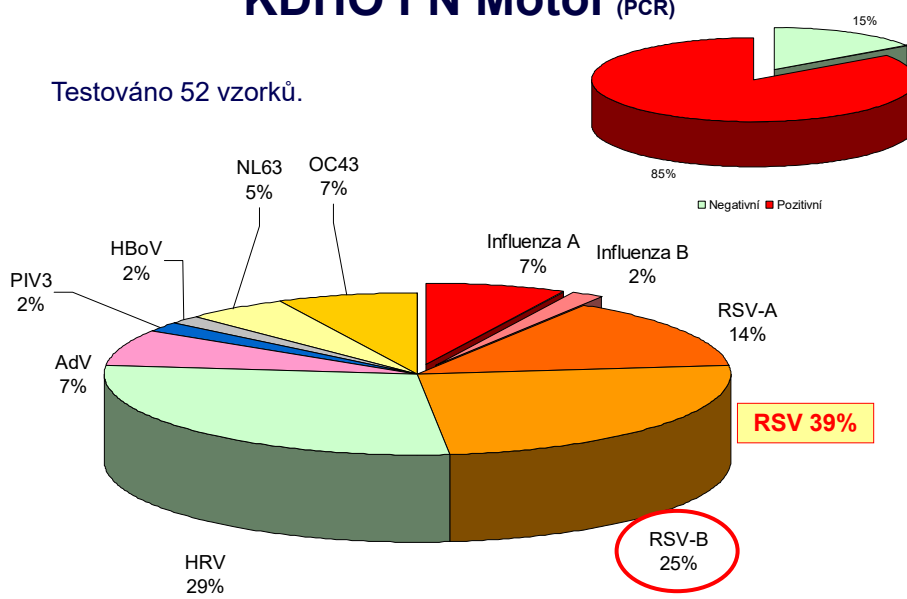
Výskyt respiračních virů u pacientů Pediatrické kliniky FN Motol (PCR)

Testováno 197 vzorků.



Výskyt respiračních virů u pacientů KDHO FN Motol (PCR)

Testováno 52 vzorků.



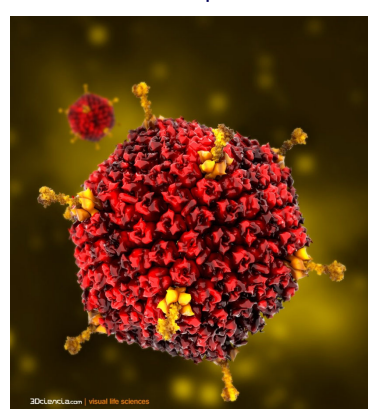
CAVE

Každá detekce má své limity!
I molekulárně-biologická detekce = PCR!

Platí i pro komerční kity. Například v RV16 kitu je ověřená detekce pouze **10 sérototypů z přibližně 60 popsaných.**

Jedná se sice o nejčastěji popisované AdV sérotypy u respiračních infekcí, ale nejsou jedinými!!!!!!

Negativita ani u PCR nutně neznamená, že se nejedná o AdV infekci.



Fourth European Conference on Infections in Leukaemia (ECIL-4): Guidelines for Diagnosis and Treatment of Human Respiratory Syncytial Virus, Parainfluenza Virus, Metapneumovirus, Rhinovirus, and Coronavirus

Hans H. Hirsch,^{1,2} Rodrigo Martino,³ Katherine N. Ward,⁴ Michael Boeckh,⁵ Hermann Einsele,⁶ and Per Ljungman^{7,8}

<http://www.ebmt.org/Contents/Resources/Library/ECIL/Pages/ECIL.aspx>

DĚKUJI ZA POZORNOST

Petr.Hubacek@LFmotol.cuni.cz